

Επίλυση προβλημάτων Ελλειπτικών Μερικών
Διαφορικών Εξισώσεων με την μέθοδο των
Πεπερασμένων Στοιχείων και εφαρμογές στις
Εξισώσεις Μεταφοράς-Διάχυσης.

Διπλωματική εργασία

Χαβέλια Ελένη

Επιβλέπων Καθηγητής : Κ.Χρυσάφινος
Επίκουρος Καθηγητής ΕΜΠ

Εθνικό Μετσόβιο Πολυτεχνείο
Σχολή Εφαρμοσμένων Μαθηματικών και Φυσικών Επιστημών

Αθήνα 2011

Περιεχόμενα

1	Εισαγωγή	3
1.1	Σκοπός της εργασίας	3
1.2	Δομή της εργασίας	3
2	Παρουσίαση του προβλήματος.	5
3	Μέθοδος των πεπερασμένων διαφορών.	7
3.1	Ανάλυση της ευστάθειας της μεθόδου.	9
3.2	Ανάλυση της συνέπειας της μεθόδου.	14
3.3	Ανάλυση της σύγκλισης της μεθόδου.	17
4	Μέθοδος Galerkin.	19
4.1	Διατύπωση και ιδιότητες της μεθόδου Galerkin.	21
4.2	Ανάλυση της ευστάθειας της μεθόδου.	21
4.3	Ανάλυση της σύγκλισης της μεθόδου.	22
4.4	Μέθοδος των πεπερασμένων στοιχείων.	25
4.5	Φασματικές μέθοδοι	33
5	Εξισώσεις μεταφοράς-διάχυσης.	35
5.1	Διακριτοποίηση και επίλυση του προβλήματος.	37
5.2	Σύγκριση των μεθόδων των Π.Σ και των Π.Δ.	39
5.3	Σταθεροποίηση της μεθόδου των πεπερασμένων στοιχείων.	41
5.4	Περιγραφή του προβλήματος στις δύο διαστάσεις.	45
6	Αριθμητικά παραδείγματα και άναλυση των αποτελεσμάτων.	49

Ευχαριστίες

Ολοκληρώνοντας την διπλωματική μου εργασία θα ήθελα αρχικά να ευχαριστήσω θερμά τον επίκουρο καθηγητή του ΕΜΠ κ.Χρυσάφινο Κωσταντίνο για την άριστη συνεργασία που είχαμε και για την πολύτιμη βοήθεια που προσέφερε σε όλα τα ζητήματα που προέκυψαν κατά την διάρκεια της εργασίας. Θα ήθελα επίσης να ευχαριστήσω την οικογένεια μου για την αγάπη και την υποστήριξη που μου έχουν προσφέρει. Τέλος δεν θα μπορούσα να ξεχάσω τους φίλους και τις φίλες που με βοήθησαν και με στήριξαν όλο αυτό το διάστημα και ειδικότερα τον μεταπτυχιακό φοιτητή Ν.Παλληκαράκη για την βοήθεια του στη χρήση της γλώσσας TEX.

Κεφάλαιο 1

Εισαγωγή

1.1 Σκοπός της εργασίας

Σκοπός της διπλωματικής εργασίας είναι η μελέτη και η επίλυση των εξισώσεων μεταφοράς-διάχυσης με χρήση προσεγγιστικών μεθόδων. Οι εξισώσεις αυτές χρησιμοποιούνται για την περιγραφή προβλημάτων μεταφοράς ενέργειας σε πολλούς επιστημονικούς τομείς ,όπως στον τομέα της μηχανικής της φυσικής κ.τ.λ. Ειδικά στην παρούσα εργασία θα ασχοληθούμε με προβλήματα όπου η μεταφορά υπερισχύει της διάχυσης. Τα προβλήματα αυτά παρουσιάζουν ιδιαίτερο ενδιαφέρον διότι εμφανίζουν προβλήματα όταν έχουμε να κάνουμε με προβλήματα που ορίζονται σε περισσότερες από μία διαστάσεις, πράγμα το οποίο αντιμετωπίζεται όπως θα δούμε και αναλυτικά στο Κεφάλαιο 5.

Πριν παρουσιάσουμε όμως το πρόβλημα μεταφοράς-διάχυσης θα ασχοληθούμε με την ανάλυση των προσεγγιστικών μεθόδων για τα προβλήματα συνοριακών τιμών μερικών διαφορικών εξισώσεων *ελλειπτικού τύπου*. Με τον όρο *ελλειπτικού τύπου* εννοούμε εξισώσεις που περιγράφουν φυσικές καταστάσεις ,οι οποίες δεν εξελίσσονται στον χρόνο, δηλαδή καταστάσεις ισορροπίας. Έχουν αναπτυχθεί διάφορες κατηγορίες προσεγγιστικών μεθόδων για την επίλυση τόσο συνήθη διαφορικών εξισώσεων όσο και μερικών διαφορικών εξισώσεων. Οι βασικότεροι μέθοδοι είναι, η μέθοδος των Πεπερασμένων Διαφορών και η μέθοδος των Πεπερασμένων Στοιχείων με σημαντικότερο εκπρόσωπο την μέθοδο *Galerkin*, με τις οποίες και θα ασχοληθούμε στην παρούσα εργασία. Επίσης άλλοι μέθοδοι που χρησιμοποιούνται είναι η μέθοδος Σκόπευσης και η μέθοδος Ταξινόμησης.

1.2 Δομή της εργασίας

Για την παρουσίαση του θέματος χρησιμοποιούμε ως κύρια αναφορά το βιβλίο [1,Κεφ. 12,13,14] Στο **Κεφάλαιο 2**. γίνεται παρουσίαση του απλού συνοριακού προβλήματος. Το πρόβλημα αυτό επιλύεται με ολοκλήρωση κατά μέρη και χρήση της συνάρτησης *Green*. Η λύση του τώρα ικανοποιεί κάποιες χαρακτηριστικές ιδιότητες, όπως *μοναδικότητα*, *μονοτονία* και την *αρχή*

του μεγίστου.

Στην συνέχεια στο **Κεφάλαιο 3.** το πρόβλημα συνοριακών τιμών επιλύεται προσεγγιστικά με την μέθοδο των Πεπερασμένων Διαφορών. Αρχικά από το συνεχές πρόβλημα μεταβαίνουμε στο αντίστοιχο διακριτοποιημένο και αναλύουμε την ευστάθεια την συνέπεια και κατ'επέκταση την σύγκλιση της μεθόδου. Αναλυτικότερα, για να δείξουμε την ευστάθεια της παραπάνω μεθόδου αρκεί να δείξουμε ότι η προσεγγιστική λύση είναι φραγμένη. Όσο αναφορά την συνέπεια, ο ρόλος της είναι να μειώσει το σφάλμα που προκύπτει λόγω της μετάβασης από το συνεχές πρόβλημα στο αντίστοιχο διακριτοποιημένο και τέλος η σύγκλιση της μεθόδου μας δείχνει κατά πόσο η προσεγγιστική λύση " πλησιάζει" την αντίστοιχη ακριβή λύση του προβλήματος.

Στο **Κεφάλαιο 4.** τώρα παρουσιάζουμε την μέθοδο *Galerkin*. Εδώ θεωρούμε ένα πιο γενικό πρόβλημα συνοριακών τιμών και σε αντίθεση με το Κεφάλαιο 3., όπου περάσαμε κατευθείαν στη διακριτοποίηση του, εδώ προσδιορίζουμε πρώτα την ασθενή διατύπωση του. Στην συνέχεια διακριτοποιούμε το πρόβλημα χρησιμοποιώντας την μέθοδο των Πεπερασμένων Στοιχείων, όπου η προσεγγιστική λύση δίνεται ως ένας γραμμικός συνδιασμός συνεχών τμηματικών πολυωνύμων βαθμού $K \geq 1$. Για ευκολότερη περιγραφή ορίζουμε τους διανυσματικούς χώρους $X_h^1, X_h^2, \dots, X_h^k$, οι οποίοι περιέχουν τα αντίστοιχα τμηματικά πολυώνυμα και οι οποίοι παράγονται από τις αντίστοιχες συναρτήσεις βάσης φ_i . Όσο αναφορά τις συναρτήσεις αυτές γίνεται αναλυτική παρουσίαση αυτών για την μορφή και τις ιδιότητες τους με ιδιαίτερο ενδιαφέρον να παρουσιάζεται στην περίπτωση του χώρου X_h^1 όπου οι φ_i είναι οι γνωστές συναρτήσεις στέγες. Τέλος όπως και στο Κεφάλαιο 3. γίνεται ανάλυση της ευστάθειας και της σύγκλισης της μεθόδου.

Στο **Κεφάλαιο 5.** μελετάμε τις εξισώσεις μεταφοράς-διάχυσης και ειδικότερα τα προβλήματα όπου η μεταφορά υπερισχύει της διάχυσης. Αφού προσδιορίσουμε πρώτα την ασθενή διατύπωση του προβλήματος στη συνέχεια περνάμε στη διακριτοποίηση αυτού χρησιμοποιώντας την μέθοδο *Galerkin* με πεπερασμένα στοιχεία και στην αντίστοιχη εκτίμηση του σφάλματος. Αν τώρα το πρόβλημα μας ορίζεται σε περισσότερες από μία διαστάσεις, τότε χρησιμοποιώντας την τεχνητή διάχυση σταθεροποιούμε την μέθοδο των πεπερασμένων στοιχείων και υπολογίζουμε την αντίστοιχη βελτιωμένη εκτίμηση του σφάλματος.

Τέλος στο **Κεφάλαιο 6.** με χρήση του προγράμματος *Free fem* επιλύουμε αριθμητικά το πρόβλημα *Laplace* και το πρόβλημα μεταφοράς-διάχυσης στις δύο διαστάσεις. Εκτός από την προσεγγιστική τους επίλυση γίνεται και υπολογισμός των αντίστοιχων σφαλμάτων για διάφορα βήματα της μεθόδου των πεπερασμένων στοιχείων. Με αυτό τον τρόπο αποκτούμε μία πλήρη εικόνα για το τι συμβαίνει στα προβλήματα μεταφοράς-διάχυσης καθώς βλέπουμε την απόλυτη συσχέτιση που υπάρχει μεταξύ των θεωρητικών αποτελεσμάτων της εκτίμησης σφάλματος με τα αντίστοιχα αριθμητικά αποτελέσματα.

Κεφάλαιο 2

Παρουσίαση του προβλήματος.

Υποθέτουμε ότι έχουμε το ακόλουθο πρόβλημα συνοριακών τιμών,

$$(2.1) \quad u''(x) = f(x), 0 < x < 1$$

$$(2.2) \quad u(0) = u(1) = 0$$

όπου η συνάρτηση $u \in \mathcal{C}^2([0, 1])$

Αναζητούμε λύση της διαφορικής εξίσωσης(2.1)-(2.2) της μορφής:

$$u(x) = c_1 + c_2x - \int_0^x F(s)ds$$

όπου c_1, c_2 είναι αυθαίρετες σταθερές και $F(s) = \int_0^s f(t)dt$. Χρησιμοποιώντας ολοκλήρωση κατά μέρη προκύπτει,

$$\int_0^x F(s)ds = \int_0^x (s)'F(s)ds = [sF(s)]_0^x - \int_0^x sF'(s)ds = \int_0^x (x-s)f(s)ds.$$

Άρα η λύση της διαφορικής εξίσωσης (2.1) μπορεί να γραφεί τώρα στην ακόλουθη μορφή,

$$u(x) = c_1 + c_2x - \int_0^x (x-s)f(s)ds.$$

Οι σταθερές c_1, c_2 προσδιορίζονται εφαρμόζοντας τις συνοριακές συνθήκες (2.2). Από την πρώτη συνθήκη $u(0) = 0$ προκύπτει ότι $c_1 = 0$, ενώ από τη δεύτερη συνθήκη $u(1) = 0$ προκύπτει ότι $c_2 = \int_0^1 (1-s)f(s)ds$. Επομένως η λύση τώρα γράφεται,

$$u(x) = x \int_0^1 (1-s)f(s)ds - \int_0^x (x-s)f(s)ds.$$

Για κάθε x σταθερό ορίζουμε,

$$(2.3) \quad G(x, s) = \begin{cases} s(1-x), & \text{αν } 0 \leq s \leq x \\ x(1-s), & \text{αν } x \leq s \leq 1. \end{cases}$$

Η λύση τώρα της διαφορικής χρησιμοποιώντας την συνάρτηση G μπορεί να γραφεί σε πιο συμπτυγμένη μορφή,

$$(2.4) \quad u(x) = \int_0^1 G(x, s)f(s)ds.$$

Η συνάρτηση G είναι η συνάρτηση Green για το πρόβλημα συνοριακών τιμών (2.1)-(2.2). Είναι μια κατά τμήματα γραμμική συνάρτηση του x για σταθερό s και αντιστρέψιμη. Επίσης $\forall x, s \in [0, 1]$ είναι συνεχής, συμμετρική (δηλαδή, $G(x, s) = G(s, x)$), μη αρνητική και μηδενίζεται αν το x ή το s είναι ίσα με το 0 ή το 1, τέλος το ολοκλήρωμα αυτής της συνάρτησης από το 0 στο 1 είναι ίσο με το εμβαδόν των τριγώνων που σχηματίζει η συνάρτηση Green για διαφορετικά x δηλαδή $\int_0^1 G(x, s)ds = \frac{1}{2}x(1-x)$.

ΠΑΡΑΤΗΡΗΣΕΙΣ ΠΑΝΩ ΣΤΗ ΣΧΕΣΗ (2.4):

Παρατήρηση 2.1 Λόγω της σχέσης (2.4) μπορούμε να συμπεράνουμε ότι $\forall f \in C^0([0, 1])$ υπάρχει μοναδική λύση $u \in C^2([0, 1])$ του προβλήματος συνοριακών τιμών (2.1)-(2.2).

Παρατήρηση 2.2 Μία άλλη ιδιότητα της λύσης u που προκύπτει από τη σχέση (2.4) είναι ότι αν η συνάρτηση $f \in C^0([0, 1])$ είναι μη αρνητική, τότε και η λύση u είναι επίσης μη αρνητική, διότι $\forall x, s \in [0, 1], G(x, s) \geq 0$. Η ιδιότητα αυτή αναφέρεται ως ιδιότητα της μονοτονίας.

Παρατήρηση 2.3 Επειδή η συνάρτηση G είναι μη αρνητική έχουμε ότι,

$$|u(x)| \leq \int_0^1 G(x, s)|f(s)|ds \leq \|f\|_\infty \int_0^1 G(x, s)ds = \frac{1}{2}x(1-x)\|f\|_\infty$$

στη συνέχεια χρησιμοποιώντας και την άπειρο νόρμα που ορίζεται ως $\|u(x)\| = \max_{0 \leq x \leq 1} |u(x)|$ καταλήγουμε στην ακόλουθη ιδιότητα της λύσης u ,

$$(2.5) \quad \|u(x)\|_\infty \leq \frac{1}{8}\|f\|_\infty.$$

Η ιδιότητα αυτή ονομάζεται αρχή του μεγίστου και ισχύει αν $f \in C^0([0, 1])$.

Κεφάλαιο 3

Μέθοδος των πεπερασμένων διαφορών.

Η μέθοδος των πεπερασμένων διαφορών για την επίλυση συνοριακών προβλημάτων κατασκευάζεται, αν αντικαταστήσουμε τις παραγώγους που υπάρχουν στη διαφορική εξίσωση με κατάλληλες προσεγγίσεις.

Συγκεκριμένα στο πρόβλημα συνοριακών τιμών (2.1)-(2.2) η μέθοδος εφαρμόζεται ως εξής: Διαιρούμε το διάστημα $[0,1]$ σε $n+1$ υποδιαστήματα (όπου $n \in \mathbb{Z}$ και $n \geq 2$) μήκους $h = \frac{1}{n}$ το καθένα. Ζητάμε προσεγγίσεις u_j της λύσης $u(x_j)$ στα σημεία x_j με $j = 1, \dots, n-1$. Το σύνολο των προσεγγίσεων u_j της λύσης $u(x_j)$ είναι μια πεπερασμένη ακολουθία $\{u_j\}_{j=0}^n$, η οποία ορίζεται μόνο στα διακριτά σημεία $\{x_j\}_{j=0}^n$.

Το πρόβλημα (2.1)-(2.2) προσεγγίζεται τώρα στο σημείο x_j αντικαθιστώντας την παράγωγο $u''(x_j)$ από κατάλληλη προσέγγιση η οποία προκύπτει χρησιμοποιώντας το πολυώνυμο παρεμβολής Newton. Αναλυτικότερα,

το πολυώνυμο $P_n(x)$ βαθμού n παρεμβάλλει την συνάρτηση $u(x)$ με $x \in [0, 1]$ στα διακριτά σημεία $\{x_j\}_{j=0}^n$ και την προσεγγίζει στο διάστημα $[0,1]$. Σε μορφή Newton και χρησιμοποιώντας τις εμπρός διαφορές, για ισαπέχοντα σημεία απόστασης $h = \frac{1}{n}$ το πολυώνυμο γράφεται,

$$(3.1) \quad P_n(x) = P_n(x_0 + sh) = u_0 + \binom{s}{1} \Delta u_0 + \binom{s}{2} \Delta^2 u_0 + \dots + \binom{s}{n} \Delta^n u_0,$$

όπου $s = \frac{x-x_0}{h}$ και Δ είναι ο τελεστής των προς τα εμπρός διαφορών, αναλυτικότερα:

- $\Delta u_0 = u_1 - u_0$
- $\Delta^2 u_0 = \Delta(\Delta u_0) = \Delta(u_1 - u_0) = u_2 - 2u_1 + u_0$

⋮

•

- $\Delta^n u_0 = \sum_{r=0}^n (-1)^{n-r} \binom{n}{r} u_{0+r}$

(βλ.βιβλία [1,7,9])

Παραγωγίζοντας δύο φορές την σχέση (3.1), θέτοντας $n = 2$ (με σκοπό να προκύψει μία μη μηδενική τιμή της δεύτερης παράγωγου του πολυωνύμου $P_n(x)$) και θεωρώντας ότι $u''(x) \approx P_n''(x)$, προκύπτει η προσέγγιση της δεύτερης παραγώγου στο κεντρικό σημείο παρεμβολής x_j .

Άρα το πρόβλημα (2.1)-(2.2) παίρνει την ακόλουθη μορφή,

$$(3.2) \quad \frac{-u_{j+1} + 2u_j - u_{j-1}}{h^2} = f(x_j) \quad j = 1, \dots, n-1,$$

με $u_0 = u(x_0) = u(0) = u(1) = u(x_n) = u_n = 0$.

Αν θέσουμε $\mathbf{u} = (u_1, \dots, u_{n-1})^T$ και $\mathbf{f} = (f_1, \dots, f_{n-1})$, με $f_i = f(x_i)$, τότε η σχέση (3.2) μπορεί να γραφεί σε ποιο συμπτυγμένη μορφή,

$$(3.3) \quad A_{fd}\mathbf{u} = \mathbf{f},$$

όπου A_{fd} είναι ο πίνακας των πεπερασμένων διαφορών διάστασης $(n-1) \times (n-1)$ που ορίζεται ως εξής,

$$(3.4) \quad A_{fd} = h^{-2}\text{tridiag}_{n-1}(-1, 2, -1),$$

δηλαδή ο πίνακας A_{fd} έχει την ακόλουθη μορφή,

$$A_{fd} = h^{-2} \begin{bmatrix} 2 & -1 & 0 & \cdots & 0 \\ -1 & 2 & -1 & & \vdots \\ 0 & \ddots & \ddots & \ddots & 0 \\ \vdots & \cdots & -1 & 2 & -1 \\ 0 & \cdots & 0 & -1 & 2 \end{bmatrix}$$

ΠΑΡΑΤΗΡΗΣΕΙΣ ΠΑΝΩ ΣΤΗ ΣΧΕΣΗ (3.3):

Παρατήρηση 3.1 Από την δόμη του πίνακα A_{fd} μπορούμε να συμπεράνουμε ότι, ο πίνακας είναι συμμετρικός, δηλαδή $(A_{fd})^T = A_{fd}$, έχει αυστηρή διαγώνια υπεροχή κατά γραμμές και είναι θετικά ορισμένος, διότι για κάθε διάνυσμα $\mathbf{x} \in \mathbb{R}^{n-1}$ με $\mathbf{x} \neq 0$ το παρακάτω γινόμενο είναι μεγαλύτερο του μηδενός,

$$\mathbf{x}^T A_{fd} \mathbf{x} = h^{-2} \left[x_1^2 + x_{n-1}^2 + \sum_{i=2}^{n-1} (x_i - x_{i-1})^2 \right] > 0.$$

Λόγω των παραπάνω ιδιοτήτων του πίνακα A_{fd} καταλήγουμε στο συμπέρασμα ότι πρόβλημα που περιγράφεται μέσω της σχέσης (3.3) έχει μοναδική λύση.

Παρατήρηση 3.2 Το σύστημα (3.3) μπορεί εύκολα να επιλυθεί με μια από τις μεθόδους επίλυσης γραμμικών συστημάτων, διότι ο πίνακας A_{fd} είναι τριδιαγώνιος.

Η σχέση (3.2) μπορεί να γραφεί και σε μορφή τελεστών. Για το σκοπό αυτό ορίζουμε με V_h το σύνολο όλων των διακριτών συναρτήσεων που ορίζονται στα διακριτά σημεία x_j για $j = 0, \dots, n$, δηλαδή αν μία συνάρτηση $w_h \in V_h$, τότε η συνάρτηση $w_h(x_j)$ ορίζεται για όλα τα x_j . Για λόγους συντομογραφίας αντί για $w_h(x_j)$ θα χρησιμοποιούμε τον συμβολισμό w_j . Στη συνέχεια ορίζουμε V_h^0 να είναι υποσύνολο του V_h που περιέχει τις διακριτές συναρτήσεις οι οποίες μηδενίζονται στα σημεία x_0 και x_n . Παρακάτω ορίζεται ο τελεστής L_h για μία συνάρτηση w_h ως εξής:

$$(3.5) \quad (L_h w_h)(x_j) = -\frac{w_{j+1} - 2w_j + w_{j-1}}{h^2}, \quad j = 1, \dots, n-1,$$

και το πρόβλημα πεπερασμένων διαφορών (3.2) είναι τώρα ισοδύναμο με το ακόλουθο: να βρεθεί $u_h \in V_h^0$ έτσι ώστε,

$$(3.6) \quad (L_h u_h)(x_j) = f(x_j), \quad j = 1, \dots, n-1.$$

Παρατηρούμε ότι οι συνοριακές συνθήκες του προβλήματος (3.6) περιλαμβάνονται στην απαίτησή μας $u_h \in V_h^0$.

3.1 Ανάλυση της ευστάθειας της μεθόδου.

Για δύο διακριτές συναρτήσεις $w_h, u_h \in V_h$ ορίζεται το διακριτό εσωτερικό γινόμενο

$$(3.7) \quad (w_h, u_h) = h \sum_{k=0}^n c_k w_k u_k,$$

με $c_0 = c_n = \frac{1}{2}$ και $c_k = 1$ για $k = 1, \dots, n-1$.

Διαφορετικά η σχέση (3.7) δεν είναι τίποτα άλλο από τον σύνθετο κανόνα τραπεζίου, ο οποίος χρησιμοποιείται για τον υπολογισμό του εσωτερικού γινομένου $(w, u) = \int_0^1 w(x)u(x)dx$.

Αναλυτικότερα,

το γινόμενο $w(x)u(x)$ προσεγγίζεται από το πολυώνυμο παρεμβολής Newton με αποτέλεσμα,

$$(3.8) \quad \int_0^1 w(x)u(x)dx \approx \int_{x_0}^{x_n} p_n(x)dx = \int_{x_0}^{x_1} p_n(x)dx + \int_{x_1}^{x_2} p_n(x)dx + \dots + \int_{x_{n-1}}^{x_n} p_n(x)dx.$$

Υπολογισμός των επιμέρους ολοκληρωμάτων της σχέσης (3.8):

$$\int_{x_0}^{x_1} p_n(x)dx = \int_{x_0}^{x_1} (w_0 u_0 + \binom{s}{1} \Delta w_0 u_0) dx, \quad (n = 1),$$

όπου $s = \frac{x-x_0}{h}$ και $h = \frac{1}{n}$.

Αλλάζοντας την μεταβλητή ολοκλήρωσης (από x σε s) το παραπάνω ολοκλήρωμα παίρνει την ακόλουθη μορφή,

$$h \int_0^1 (w_0 u_0 + \binom{s}{1} \Delta w_0 u_0) ds = h(w_0 u_0 s + \frac{s^2}{2} \Delta w_0 u_0)|_0^1 = \frac{h}{2}(w_0 u_0 + w_1 u_1).$$

Με τον ίδιο τρόπο προκύπτει και ο υπολογισμός των υπολοίπων ολοκληρωμάτων και η σχέση (3.8) γράφεται τώρα ως εξής,

$$\int_0^1 w(x)u(x)dx \approx \frac{h}{2}(w_0 u_0 + w_1 u_1) + \frac{h}{2}(w_1 u_1 + w_2 u_2) + \dots + \frac{h}{2}(w_{n-1} u_{n-1} + w_n u_n) = h \sum_{k=0}^n c_k w_k u_k,$$

όπου $c_0 = c_n = \frac{1}{2}$ και $c_k = 1$, για $k = 1, \dots, n-1$.

Από την σχέση (3.7) και με την υπόθεση ότι $w_h = u_h$ προκύπτει ότι,

$$(3.9) \quad (u_h, u_h)_h^{1/2} = \|u_h\|_h.$$

Θα δείξουμε τώρα ότι το παραπάνω διγραμμικό συναρτησοειδές $\|\cdot\|_h : V_h \times V_h \rightarrow \mathbb{R}$ περιγράφει μία νόρμα του χώρου V_h . Αναλυτικότερα,

i) $\forall u_h \in V_h$ είναι προφανές ότι $\|u_h\|_h \geq 0$ καθώς,

$$\|u_h\|_h = (u_h, u_h)_h^{1/2} = \sqrt{h \sum_{k=0}^{n-1} c_k u_k^2} = \sqrt{h \left(\frac{u_0^2}{2} + u_1^2 + \dots + \frac{u_n^2}{2} \right)} \geq 0,$$

και

$$\|u_h\|_h = 0 \Leftrightarrow u_0 = u_1 = \dots = u_n \Leftrightarrow u_h = 0.$$

Επίσης,

ii) $\forall u_h \in V_h$ και $\lambda \in \mathbb{R}$ έχουμε $\|\lambda u_h\|_h = |\lambda| \|u_h\|_h$, διότι

$$\|\lambda u_h\|_h = (\lambda u_h, \lambda u_h)_h^{1/2} = \sqrt{h \sum_{k=0}^{n-1} c_k \lambda^2 u_k^2} = \sqrt{\lambda^2} \sqrt{h \sum_{k=0}^{n-1} c_k u_k^2} = |\lambda| \|u_h\|_h.$$

Τέλος θα δείξουμε ότι,

iii) $\forall w_h, u_h \in V_h$ ισχύει η τριγωνική ανισότητα $\|u_h + w_h\|_h \leq \|u_h\|_h + \|w_h\|_h$,

$$\begin{aligned} \|u_h + w_h\|_h &= (u_h + w_h, u_h + w_h)_h^{1/2} = \left(h \sum_{k=0}^{n-1} c_k (u_k + w_k)^2 \right)^{1/2} \\ &= \left(\left(h \sum_{k=0}^{n-1} c_k u_k^2 \right) + \left(h \sum_{k=0}^{n-1} c_k w_k^2 \right) + 2 \left(h \sum_{k=0}^{n-1} c_k u_k w_k \right) \right)^{1/2} \end{aligned}$$

$$\begin{aligned} &= ((u_h, u_h)_h + (w_h, w_h)_h + 2(u_h, w_h)_h)^{1/2} \\ &\leq ((u_h, u_h)_h + (w_h, w_h)_h + 2|(u_h, w_h)_h|)^{1/2}. \end{aligned}$$

Εφαρμόζοντας την ακόλουθη **ανισότητα Cauchy-Schwarz** η οποία ισχύει στην περίπτωση του εσωτερικού γινομένου,

$$|(u_h, w_h)_h| \leq (u_h, u_h)_h^{1/2} (w_h, w_h)_h^{1/2}$$

προκύπτει ότι,

$$\begin{aligned} \|u_h + w_h\|_h &\leq \left((u_h, u_h)_h + (w_h, w_h)_h + 2(u_h, u_h)_h^{1/2} (w_h, w_h)_h^{1/2} \right)^{1/2} = \\ &= \left(\left((u_h, u_h)_h^{1/2} + (w_h, w_h)_h^{1/2} \right)^2 \right)^{1/2} = \\ &= \|u_h\|_h + \|w_h\|_h. \end{aligned}$$

Λήμμα 3.1.1 *i) Ο τελεστής L_h είναι συμμετρικός, δηλαδή*

$$(L_h w_h, u_h)_h = (w_h, L_h u_h)_h \quad \forall w_h, u_h \in V_h^0$$

ii) και θετικά ορισμένος, δηλαδή

$$(L_h u_h, u_h)_h \geq 0 \quad \forall u_h \in V_h^0,$$

η ισότητα ισχύει μόνο στην περίπτωση που $u_h \equiv 0$.

Απόδειξη.

i) Από την σχέση (3.5) έχουμε ότι $(L_h w_h)(x_j) = -\frac{w_{j+1} - 2w_j + w_{j-1}}{h^2}$, άρα το διακριτό εσωτερικό γινόμενο των διακριτών συναρτήσεων $L_h w_h$ και u_h είναι,

(3.10)

$$(L_h w_h, u_h)_h = -h \sum_{j=0}^{n-1} \left(\frac{w_{j+1} - 2w_j + w_{j-1}}{h^2} \right) u_j = h^{-1} \sum_{j=0}^{n-1} ((w_{j+1} - w_j) - (w_j - w_{j-1})) u_j.$$

Χρησιμοποιώντας την ακόλουθη ταυτότητα,

$$w_{j+1} u_{j+1} - w_j u_j = (w_{j+1} - w_j) u_j + (u_{j+1} - u_j) w_{j+1}$$

και αθροίζοντας από το 0 μέχρι το $n-1$ προκύπτει ότι, $\forall w_h, u_h \in V_h$

$$\sum_{j=0}^{n-1} (w_{j+1} - w_j) u_j = w_n u_n - w_0 u_0 - \sum_{j=0}^{n-1} (u_{j+1} - u_j) w_{j+1},$$

το οποίο αναφέρεται ως *άθροιση κατά μέρη*. Χρησιμοποιώντας δύο φορές την άθροιση κατά μέρη και θέτοντας $\forall w_h, u_h \in V_h^0, w_{-1} = u_{-1} = 0$, παρατηρούμε ότι η σχέση (3.10) είναι ισοδύναμη με την ακόλουθη:

$$(3.11) \quad (L_h w_h, u_h)_h = h^{-1} \sum_{j=0}^{n-1} (w_{j+1} - w_j)(u_{j+1} - u_j).$$

Με παρόμοιο τρόπο υπολογίζουμε $(u_h, L_h w_h)$ και παρατηρούμε ότι μπορούμε να εναλλάξουμε τον όρο w_j με u_j από την σχέση (3.11). Έτσι έχουμε $(L_h w_h, u_h)_h = (w_h, L_h u_h)_h$.

ii) Για να αποδείξουμε τώρα ότι ο τελεστής L_h είναι θετικά ορισμένος, θεωρούμε ότι $w_h = u_h$ και η σχέση (3.11) παίρνει την ακόλουθη μορφή,

$$(3.12) \quad (L_h u_h, u_h)_h = h^{-1} \sum_{j=0}^{n-1} (u_{j+1} - u_j)^2 \geq 0.$$

Η ισότητα ισχύει όταν $u_{j+1} = u_j$ για $j = 0, \dots, n-1$, συγκεκριμένα για $j = 0$ έχουμε ότι $u_1 = u_0$, όμως $u_0 = 0$ (συνοριακή συνθήκη) άρα $u_1 = 0$. Ομοίως προκύπτει ότι $u_2 = u_3 = \dots = u_n = 0$. Επομένως καταλήγουμε στο συμπέρασμα ότι η ισότητα ισχύει μόνο στην περίπτωση που $u_j = 0$ για $j = 0, \dots, n$. \square

Για οποιαδήποτε διακριτή συνάρτηση $u_h \in V_h$ ορίζουμε την ακόλουθη νόρμα,

$$(3.13) \quad |||u_h|||_h = \left\{ h \sum_{j=0}^{n-1} \left(\frac{u_{j+1} - u_j}{h} \right)^2 \right\}^{1/2}.$$

Επομένως η σχέση (3.12) είναι τώρα ισοδύναμη με την ακόλουθη,

$$(3.14) \quad (L_h u_h, u_h)_h = |||u_h|||_h^2 \quad \forall u_h \in V_h^0.$$

Μέχρι στιγμής έχουμε ορίσει δύο νόρμες στον χώρο V_h^0 την $\|u_h\|_h$ και την $|||u_h|||_h$. Παρακάτω μέσω του λήμματος (3.1.2) δίνεται η σχέση που υπάρχει μεταξύ τους.

Λήμμα 3.1.2 Για οποιαδήποτε συνάρτηση $u_h \in V_h^0$ ισχύει ότι:

$$(3.15) \quad \|u_h\|_h \leq \frac{1}{\sqrt{2}} |||u_h|||_h.$$

Απόδειξη.

Υποθέσαμε ότι η $u_h \in V_h^0$, άρα η u_j (δηλαδή η $u(x_j)$) ορίζεται για όλα τα j . Από τη στιγμή που $u_0 = 0$ έχουμε,

$$u_j = h \sum_{k=0}^{j-1} \frac{u_{k+1} - u_k}{h} \quad \forall j = 1, \dots, n-1,$$

διότι η παραπάνω σχέση για $j = 1$ δίνει $u_1 = u_1$ ομοίως για $j = 2$ δίνει $u_2 = u_2$ κ.ο.κ. Επίσης,

$$u_j^2 = h^2 \left[\sum_{k=0}^{j-1} \left(\frac{u_{k+1} - u_k}{h} \right) \right]^2.$$

Χρησιμοποιώντας την ανισότητα Minkowski,

$$\left(\sum_{k=1}^m p_k \right)^2 \leq m \left(\sum_{k=1}^m p_k^2 \right),$$

η οποία ισχύει $\forall m \in \mathbb{Z}$ με $m \geq 1$ και για κάθε ακολουθία $\{p_1, \dots, p_m\}$ πραγματικών αριθμών, παρατηρούμε ότι,

$$\sum_{j=1}^{n-1} u_j^2 \leq h^2 \sum_{j=1}^{n-1} j \sum_{k=0}^{j-1} \left(\frac{u_{k+1} - u_k}{h} \right)^2.$$

Τότε $\forall u_h \in V_h^0$ έχουμε,

$$\|u_h\|_h^2 = (u_h, u_h)_h = h \sum_{j=1}^{n-1} u_j^2 \leq h^2 \sum_{j=1}^{n-1} j h \sum_{k=0}^{j-1} \left(\frac{u_{k+1} - u_k}{h} \right)^2 = h^2 \frac{(n-1)n}{2} \|u_h\|_h^2.$$

Αντικαθιστώντας στην παραπάνω σχέση όπου $h = \frac{1}{n}$ προκύπτει τελικά η ζητούμενη σχέση,

$$\|u_h\|_h^2 \leq \frac{1}{n} \frac{(n-1)}{2} \|u_h\|_h^2 = \left(\frac{1}{2} - \frac{1}{2n} \right) \|u_h\|_h^2 \stackrel{(n \rightarrow \infty)}{=} \frac{1}{2} \|u_h\|_h^2.$$

□

ΠΑΡΑΤΗΡΗΣΕΙΣ ΠΑΝΩ ΣΤΗ ΣΧΕΣΗ (3.15):

Παρατήρηση 3.3 Για κάθε $u_h \in V_h^0$ η διακριτή συνάρτηση $u_h^{(1)}$, με τιμές $\frac{u_{j+1} - u_j}{h}$ για $j = 0, \dots, n-1$ μπορεί να θεωρηθεί ως η διακριτή παράγωγος του u_h . Η σχέση (3.15) παίρνει τότε την ακόλουθη μορφή,

$$\|u_h\|_h \leq \frac{1}{2} \|u_h^{(1)}\|_h \quad \forall u_h \in V_h^0,$$

διότι,

$$\|u_h^{(1)}\|_h = (u_h^{(1)}, u_h^{(1)})_h^{1/2} = \left(h \sum_{j=0}^{n-1} u_h^{(1)} u_h^{(1)} \right)^{1/2} = \left(h \sum_{j=0}^{n-1} \left(\frac{u_{j+1} - u_j}{h} \right)^2 \right)^{1/2} = \|u_h\|_h.$$

Επίσης η συνάρτηση $u_h^{(1)}$ μπορεί να θεωρηθεί ως ο διακριτός μετρητής στο διάστημα $[0,1]$ της ακόλουθης ανισότητας Poincaré: \forall διάστημα $[a,b] \exists$ μία σταθερά $C_p > 0$ τέτοια ώστε,

$$\|u\|_{L^2(a,b)} \leq C_p \|u^1\|_{L^2(a,b)},$$

για όλες τις συναρτήσεις $u \in C^1([a,b])$ τέτοιες ώστε $u(a) = u(b) = 0$ και όπου $\|\cdot\|_{L^2(a,b)}$ είναι η νόρμα του χώρου $L^2(a,b)$, δηλαδή $\|u\|_{L^2(a,b)} = \left(\int_a^b |u(x)|^2 \right)^{1/2}$.

Παρατήρηση 3.4 Η ανισότητα (3.15) έχει μία ενδιαφέρουσα συνέπεια. Αν πολλαπλασιάσουμε την σχέση (3.6) με u_j και στη συνέχεια αθροίσουμε ως προς j για $j = 1, \dots, n-1$ θα παρατηρήσουμε ότι,

$$(L_h u_h, u_h)_h = (f, u_h)_h,$$

από την σχέση αυτή και σε συνδιασμό με την (3.14) προκύπτει ότι,

$$\|u_h\|_h^2 = (f, u_h)_h,$$

με εφαρμογή τώρα της ανισότητας Cauchy-Schwarz έχουμε,

$$(f, u_h)_h = \sum_{j=0}^{n-1} f(x_j)u(x_j) \leq \sum_{j=0}^{n-1} |f(x_j)u(x_j)| \leq \left(\sum_{j=0}^{n-1} |f(x_j)|^2 \right)^{1/2} \left(\sum_{j=0}^{n-1} |u(x_j)|^2 \right)^{1/2} = \|f_h\|_h \|u_h\|_h,$$

δηλαδή,

$$\|u_h\|_h^2 \leq \|f_h\|_h \|u_h\|_h.$$

Στις παραπάνω σχέσεις υπενθυμίζουμε ότι το f_h ορίζεται από την f ως η διακριτοποίηση $f_h(x_j) = f(x_j)$, δηλαδή έχουμε $f_h(x) = f_h(x_j) \quad \forall x \in [x_j, x_{j+1}]$. Τέλος χρησιμοποιώντας την σχέση (3.15) καταλήγουμε στην ακόλουθη ανισοτική σχέση,

$$(3.16) \quad \|u_h\|_h \leq \frac{1}{2} \|f_h\|_h,$$

από την οποία συμπεραίνουμε ότι το πρόβλημα πεπερασμένων διαφορών (3.2) έχει μοναδική λύση. Επίσης παρατηρούμε ότι η λύση του προβλήματος χρησιμοποιώντας την μέθοδο των πεπερασμένων διαφορών είναι φραγμένη από την διακριτή συνάρτηση f_h , πράγμα που μας εξασφαλίζει την ευστάθεια της λύσης.

3.2 Ανάλυση της συνέπειας της μεθόδου.

Η μετάβαση από το συνεχές πρόβλημα συνοριακών τιμών (2.1)-(2.2) στο διακριτό (3.2) ή (3.5) μέσω της μεθόδου των πεπερασμένων διαφορών εισάγει ένα σφάλμα προσέγγισης το οποίο γενικά ονομάζεται **σφάλμα διακριτοποίησης ή αποκοπής**. Τα σφάλματα αυτά διακρίνονται σε **τοπικά** και **ολικά**. Το τοπικό σφάλμα έχει ουσιαστικά να κάνει με το σφάλμα αποκοπής

σε ένα μόνο βήμα εφαρμογής του προσεγγιστικού μοντελου.

Συγκεκριμένα στο πρόβλημα (2.1)-(2.2), όπου η συνάρτηση $f \in C^0([0, 1])$ και $u \in C^2([0, 1])$ είναι η λύση του προβλήματος, το τοπικό σφάλμα αποκοπής είναι μία διακριτή συνάρτηση η οποία ορίζεται ως εξής,

$$(3.17) \quad T_h(x_j) = (L_h u)(x_j) - f(x_j), \quad j = 1, \dots, n-1.$$

Ο ρόλος τώρα της συνέπειας είναι να περιορίσει το μέγεθος των τοπικών σφαλμάτων.

Η σχέση (3.17) είναι ισοδύναμη με την ακόλουθη,

$$(3.18) \quad T_h(x_j) = -h^{-2}[u(x_{j-1}) - 2u(x_j) + u(x_{j+1})] - f(x_j).$$

Χρησιμοποιώντας το ανάπτυγμα Taylor το $u(x_{j+1})$ για κατάλληλο $\eta_j \in (x_j, x_{j+1})$ αναπτύσσεται ως εξής,

$$(3.19) \quad u(x_{j+1}) = u(x_j) + hu'(x_j) + \frac{h^2}{2}u''(x_j) + \frac{h^3}{6}u'''(x_j) + \frac{h^4}{24}u^{(iv)}(\eta_j).$$

Ομοίως για κατάλληλο $\xi_j \in (x_{j-1}, x_j)$ έχουμε και το ανάπτυγμα του $u(x_{j-1})$,

$$(3.20) \quad u(x_{j-1}) = u(x_j) - hu'(x_j) + \frac{h^2}{2}u''(x_j) - \frac{h^3}{6}u'''(x_j) + \frac{h^4}{24}u^{(iv)}(\xi_j).$$

Στην συνέχεια αντικαθιστούμε τις σχέσεις (3.19) και (3.20) στην σχέση (3.18) με αποτέλεσμα το τοπικό σφάλμα αποκοπής να πάρει την ακόλουθη μορφή,

$$(3.21) \quad T_h(x_j) = \frac{h^2}{24}(u^{(iv)}(\xi_j) + u^{(iv)}(\eta_j)).$$

Παρατηρούμε ότι,

$$(3.22) \quad \|T_h\|_{h,\infty} \leq \frac{\|f''\|_\infty}{12}h^2.$$

Αναλυτικότερα,

$$\begin{aligned} \|T_h\|_{h,\infty} &= \frac{h^2}{24}\|u^{(iv)}(\xi_j) + u^{(iv)}(\eta_j)\|_{h,\infty} \leq \frac{h^2}{24}(\|u^{(iv)}(\xi_j)\|_{h,\infty} + \|u^{(iv)}(\eta_j)\|_{h,\infty}) \leq \\ &\leq \frac{h^2}{24}(\|f''\|_\infty + \|f''\|_\infty) = \frac{h^2}{12}\|f''\|_\infty, \end{aligned}$$

όπου χρησιμοποιήσαμε την διακριτή άπειρο νόρμα η οποία ορίζεται ως εξής,

$$\|u_h\|_{h,\infty} = \max_{0 \leq j \leq n} |u_h(x_j)|.$$

Η σχέση (3.22) είναι πολύ σημαντική καθώς,

$$\lim_{h \rightarrow 0} \|T_h\|_{h,\infty} = 0.$$

Το αποτέλεσμα αυτό μας εξασφαλίζει την συνέπεια της μεθόδου.

Έστω $e = u - u_h$ η συνάρτηση του ολικού σφάλματος διακριτοποίησης. Το ολικό σφάλμα εκτός από το τοπικό σφάλμα στο τελευταίο βήμα της μεθόδου περιλαμβάνει και το συσσωρευμένο σφάλμα που οφείλεται στη μετάδοση όλων των προηγούμενων τοπικών σφαλμάτων αποκοπής. Παρατηρούμε ότι,

$$(3.23) \quad L_h e = L_h u - L_h u_h = L_h u - f_h = T_h.$$

Άσκηση 1 Χρησιμοποιώντας την παραπάνω σχέση θα δείξουμε ότι,

$$(3.24) \quad \|T_h\|_h^2 \leq 3\|f\|_h^2 + 2\|f\|_{L^2(0,1)}^2$$

Απόδειξη:

$$\begin{aligned} \|T_h\|_h^2 &= (T_h, T_h)_h = (L_h u - f_h, L_h u - f_h)_h = (L_h u - f_h, L_h u)_h - (L_h u - f_h, f_h)_h = \\ &= (L_h u - f_h, L_h u)_h - (L_h u, f_h)_h + \|f_h\|_h^2 \leq |(T_h, L_h u)_h| + |(L_h u, f_h)_h| + \|f_h\|_h^2 \leq \\ &\leq \|T_h\|_h \|L_h u\|_h + \|L_h u\|_h \|f_h\|_h + \|f_h\|_h^2 \leq \|T_h\|_h \|f\|_{L^2(0,1)} + \|f\|_{L^2(0,1)} \|f\|_h + \|f_h\|_h^2 \end{aligned}$$

εφαρμόζοντας την ταυτότητα,

$$a \cdot b \leq \frac{a^2}{2} + \frac{b^2}{2}$$

η παραπάνω σχέση είναι ισοδύναμη με την ακόλουθη,

$$\begin{aligned} \|T_h\|_h^2 &\leq \frac{1}{2}\|T_h\|_h^2 + \frac{1}{2}\|f\|_{L^2(0,1)}^2 + \frac{1}{2}\|f\|_{L^2(0,1)}^2 + \frac{1}{2}\|f_h\|_h^2 + \|f_h\|_h^2 \Rightarrow \\ &\Rightarrow \frac{1}{2}\|T_h\|_h^2 \leq \|f\|_{L^2(0,1)}^2 + \frac{3}{2}\|f_h\|_h^2 \Rightarrow \|T_h\|_h^2 \leq 2\|f\|_{L^2(0,1)}^2 + 3\|f_h\|_h^2 \end{aligned}$$

.

Παρατήρηση 3.5 Παρατηρούμε ότι αν το δεξί μέλος της ανισότητας (3.24) είναι φραγμένο δηλαδή, οι νόρμες $\|f\|_{L^2(0,1)}^2$ και $\|f_h\|_h^2$ είναι φραγμένες, τότε και το $\|T_h\|_{h,\infty}$ θα είναι φραγμένο. Το συμπέρασμα αυτό προκύπτει από το γεγονός ότι στο δεξί μέλος της ανισοτικής σχέσης δεν εμφανίζεται ο παράγοντας h .

3.3 Ανάλυση της σύγκλισης της μεθόδου.

Στις παραγράφους (3.1) και (3.2) έγινε ανάλυση της ευστάθειας και της συνέπειας αντίστοιχα της μεθόδου των πεπερασμένων διαφορών. Οι δύο αυτές έννοιες είναι απαραίτητες για να αποδειχθεί τώρα η σύγκλιση της μεθόδου, δηλαδή αν η προσεγγιστική λύση η οποία προκύπτει με εφαρμογή της μεθόδου συγκλίνει στην ακριβή λύση του προβλήματος.

Η λύση u_h που προκύπτει με εφαρμογή της μεθόδου των πεπερασμένων διαφορών μπορεί να χαρακτηριστεί από μία διακριτή συνάρτηση Green.

Αναλυτικότερα, για δοθέν διακριτό σημείο x_k ορίζεται η διακριτή συνάρτηση $G^k \in V_h^0$ ως η λύση του παρακάτω προβλήματος:

$$L_h G^k = e^k,$$

όπου η συνάρτηση $e^k \in V_h^0$ ικανοποιεί την σχέση $e^k(x_j) = \delta_{kj}$, $1 \leq j \leq n-1$, και

$$(3.25) \quad \delta_{kj} = \begin{cases} 1, & \text{αν } k = j \\ 0, & \text{αν } k \neq j. \end{cases}$$

είναι το σύμβολο του Kronecker. Επίσης παρατηρούμε ότι $G^k(x_j) = hG(x_j, x_k)$, όπου με G συμβολίζουμε την συνάρτηση Green, η οποία έχει οριστεί μέσω της σχέσης (2.3).

Για οποιαδήποτε διακριτή συνάρτηση $g \in V_h^0$ ορίζεται η συνάρτηση,

$$w_h = T_h g, \quad w_h = \sum_{k=1}^{n-1} g(x_k) G^k.$$

Τότε,

$$L_h w_h = \sum_{k=1}^{n-1} g(x_k) L_h G^k = \sum_{k=1}^{n-1} g(x_k) e^k = g.$$

Η λύση τώρα u_h του προβλήματος (3.6) ικανοποιεί την $u_h = T_h f$, άρα σύμφωνα με τα παραπάνω,

$$(3.26) \quad u_h = \sum_{k=1}^{n-1} f(x_k) G^k, \quad \text{και} \quad u_h(x_j) = h \sum_{k=1}^{n-1} G(x_j, x_k) f(x_k).$$

Θεώρημα 3.3.1 Υποθέτουμε ότι η συνάρτηση $f \in C^2([0, 1])$. Τότε το ολικό σφάλμα διακριτοποίησης $e(x_j) = u(x_j) - u_h(x_j)$ ικανοποιεί την ακόλουθη σχέση:

$$\|u - u_h\|_{h,\infty} \leq \frac{h^2}{96} \|f''\|_{\infty},$$

που σημαίνει ότι η u_h συγκλίνει στην u .

Απόδειξη.

Αρχικά θα δείξουμε ότι η σχέση (2.5) $\|u\|_\infty \leq \frac{1}{8}\|f\|_\infty$, η οποία δίνει ένα άνω φράγμα της λύσης του συνεχούς προβλήματος συννοριακών τιμών (2.1)-(2.2) ισχύει και στην περίπτωση που το πρόβλημα έχει διακριτοποιηθεί μέσω της μεθόδου των πεπερασμένων διαφορών.

Αναλυτικότερα από την σχέση (3.26) προκύπτει,

$$|u_h(x_j)| \leq h \sum_{k=1}^{n-1} G(x_j, x_k) |f(x_k)| \leq \|f\|_{h,\infty} \left(h \sum_{k=1}^{n-1} G(x_j, x_k) \right) = \|f\|_{h,\infty} \frac{1}{2} x_j (1-x_j) \leq \frac{1}{8} \|f\|_{h,\infty},$$

δηλαδή,

$$(3.27) \quad \|u_h\|_{h,\infty} \leq \frac{1}{8} \|f\|_{h,\infty}.$$

Η παραπάνω σχέση μας δείχνει ότι η λύση που προκύπτει με τη μέθοδο των πεπερασμένων διαφορών είναι ευσταθής.

Στην παράγραφο (3.2) ορίσαμε με $e_h = u - u_h$ την συνάρτηση του σφάλματος αποκοπής. Παρατηρούμε ότι η συνάρτηση αυτή ικανοποιεί την σχέση $L_h e = T_h$, άρα σύμφωνα με την σχέση (3.26) η συνάρτηση e_h παίρνει την ακόλουθη μορφή,

$$e = \sum_{k=1}^{n-1} T_h(x_k) G^k \quad \text{και} \quad e_h(x_j) = h \sum_{k=1}^{n-1} G(x_j, x_k) T_h(x_k),$$

από την οποία προκύπτει,

$$|e_h(x_j)| \leq h \sum_{k=1}^{n-1} G(x_j, x_k) |T_h(x_k)| \leq \left(h \sum_{k=1}^{n-1} G(x_j, x_k) \right) \|T_h(x_k)\|_{h,\infty} \leq \frac{1}{8} \|T_h(x_k)\|_{h,\infty},$$

εφαρμόζοντας τώρα τον ορισμό της διακριτής άπειρο νόρμα,

$$\|e_h(x_j)\|_{h,\infty} = \max_{1 \leq j \leq n-1} |e_h(x_j)|,$$

και αντικαθιστώντας την σχέση (3.22) προκύπτει η ζητούμενη σχέση,

$$\|e_h\|_{h,\infty} \leq \frac{1}{8} \|T_h\|_{h,\infty} \stackrel{(3.22)}{\leq} \frac{1}{8} \frac{\|f''\|_\infty}{12} h^2 = \frac{h^2}{96} \|f''\|_\infty.$$

□

Κεφάλαιο 4

Μέθοδος Galerkin.

Στην παράγραφο αυτή θα αναπτύξουμε την μέθοδο Galerkin με πεπερασμένα στοιχεία, για την προσέγγιση του προβλήματος συνοριακών τιμών (2.1)-(2.2). Γενικά η μέθοδος αυτή εφαρμόζεται ευρέως στις αριθμητικές προσεγγίσεις προβλημάτων συνοριακών τιμών.

Αρχικά θεωρούμε το παρακάτω πρόβλημα, το οποίο είναι μια γενικότερη μορφή του προβλήματος (2.1),

$$(4.1) \quad -(\alpha u')'(x) + (\beta u')(x) + (\gamma u)(x) = f(x) \quad 0 < x < 1,$$

με $u(0) = u(1) = 0$, και όπου α, β, γ είναι συνεχείς συναρτήσεις στο διάστημα $[0,1]$ με $\alpha(x) \geq \alpha_0 > 0 \quad \forall x \in [0,1]$.

Στη συνέχεια πολλαπλασιάζουμε την σχέση (4.1) με μία συνάρτηση $v \in C^1([0,1])$, η οποία ονομάζεται **συνάρτηση δοκιμής** και ολοκληρώνουμε την σχέση που προκύπτει στο διάστημα $[0,1]$,

$$-\int_0^1 (\alpha u')' v dx + \int_0^1 \beta u' v dx + \int_0^1 \gamma u v dx = \int_0^1 f v dx,$$

χρησιμοποιώντας ολοκλήρωση κατά μέρη η παραπάνω σχέση είναι ισοδύναμη με την ακόλουθη,

$$\int_0^1 \alpha u' v' dx + \int_0^1 \beta u' v dx + \int_0^1 \gamma u v dx = \int_0^1 f v dx + [\alpha u' v]_0^1.$$

Αν υποθέσουμε ότι η συνάρτηση v μηδενίζεται στα σημεία $x = 0$ $x = 1$, τότε παρατηρούμε ότι,

$$\int_0^1 \alpha u' v' dx + \int_0^1 \beta u' v dx + \int_0^1 \gamma u v dx = \int_0^1 f v dx.$$

Ορίζουμε με V τον χώρο όλων των συναρτήσεων δοκιμής, ο οποίος αποτελείται από τις συναρτήσεις οι οποίες είναι συνεχείς, μηδενίζονται στα σημεία $x = 0$ και $x = 1$, και η πρώτη τους παράγωγος είναι κατά τμήματα συνεχής, που σημαίνει, συνεχής παντού εκτός από ένα πεπερασμένο αριθμό σημείων του διαστήματος $[0,1]$ όπου τα αριστερά και δεξιά όρια v'_- και v'_+ υπάρχουν αλλά δεν συμπίπτουν απαραίτητα.

Ο χώρος V είναι ουσιαστικά ένας διανυσματικός χώρος ο οποίος συμβολίζεται με $H_0^1(0, 1)$. Αναλυτικότερα,

$$(4.2) \quad H_0^1(0, 1) = \{v \in L^2(0, 1) : v' \in L^2(0, 1), v(0) = v(1) = 0\}.$$

Σημείωση: Ο χώρος H_0^1 όπως γνωρίζουμε από την συναρτησιακή ανάλυση είναι ένας χώρος Sobolev. Τους χώρους αυτούς θα τους χρησιμοποιήσουμε ως εργαλεία για να διατυπώσουμε παρακάτω την ασθενή μορφή του προβλήματος (4.1).

Αν μία συνάρτηση $u \in C^2([0, 1])$ ικανοποιεί την σχέση (4.1) τότε η u αποτελεί επίσης λύση του ακόλουθου προβλήματος,

$$(4.3) \quad \text{να βρεθεί} \quad u \in V : \alpha(u, v) = (f, v) \quad \forall v \in V,$$

όπου με $(f, v) = \int_0^1 f v dx$ συμβολίζεται το βαθμωτό γινόμενο του χώρου $L^2(0, 1)$ και

$$(4.4) \quad \alpha(u, v) = \int_0^1 \alpha u' v' dx + \int_0^1 \beta u' v dx + \int_0^1 \gamma u v dx$$

είναι μία διγραμμική μορφή, δηλαδή γραμμική ως προς u και ως προς v . Το πρόβλημα (4.3) είναι η **ασθενής μορφή** του προβλήματος (4.1).

ΠΑΡΑΤΗΡΗΣΕΙΣ ΠΑΝΩ ΣΤΗ ΣΧΕΣΗ (4.3):

Παρατήρηση 4.1 Παρατηρούμε ότι η σχέση (4.3) περιέχει μόνο την πρώτη παράγωγο του u , έτσι μπορεί να καλύψει περιπτώσεις όπου η λύση $u \in C^2([0, 1])$ του προβλήματος (4.1) δεν υπάρχει ωστόσο το φυσικό πρόβλημα είναι καλά ορισμένο. Για παράδειγμα αν θέσουμε $\alpha=1$, $\beta=\gamma=0$, τότε το πρόβλημα (4.1) παίρνει την ακόλουθη μορφή,

$$-u''(x) = f(x) \quad 0 < x < 1.$$

Η λύση $u(x)$ του παραπάνω προβλήματος περιγράφει την μετατόπιση στο σημείο x μίας ελαστικής χορδής με σταθερά άκρα ($x=0$ και $x=1$) η οποία έχει γραμμική πυκνότητα ίση με f και η θέση της σε κατάσταση ισορροπίας είναι $u(x) = 0 \forall x \in [0, 1]$. Αν υποθέσουμε ότι στο διάστημα $[0, 1]$ υπάρχουν σημεία ασυνέχειας της συνάρτησης f τότε η u'' στα σημεία αυτά δεν υπάρχει ωστόσο το φυσικό πρόβλημα είναι καλά ορισμένο.

Παρατήρηση 4.2 Αν υποθέσουμε ότι το πρόβλημα (4.1) έχει τις ακόλουθες μη ομογενείς συνοριακές συνθήκες $u(0) = u_0$ και $u(1) = u_1$, τότε πάλι μπορούμε να παρατηρήσουμε μια διατύπωση παρόμοια με την (4.3). Θέτουμε $\bar{u}(x) = xu_1 + (1-x)u_0$ να είναι η ευθεία γραμμή που παρεμβάλλει τα δεδομένα μεταξύ των τελικών σημείων $x=0$ και $x=1$, και $\overset{0}{u} = u(x) - \bar{u}(x)$, τότε η συνάρτηση $\overset{0}{u} \in V$ ικανοποιεί το ακόλουθο πρόβλημα,

$$\text{να βρεθεί} \quad \overset{0}{u} \in V : \alpha(\overset{0}{u}, v) = (f, v) - \alpha(\bar{u}, v) \quad \forall v \in V.$$

Στην περίπτωση που έχουμε Neumann συνοριακές συνθήκες, για παράδειγμα $u'(0) = u'(1) = 0$, εφαρμόζουμε την ίδια διαδικασία όπως κάναμε για την απόκτηση της σχέσης (4.3) και παρατηρούμε ότι η λύση u αυτού του μη ομογενούς προβλήματος Neumann ικανοποιεί το πρόβλημα (4.3) υπό την προϋπόθεση ότι ο χώρος V είναι τώρα ο $H^1(0, 1)$.

4.1 Διατύπωση και ιδιότητες της μεθόδου Galerkin.

Σε αντίθεση με την μέθοδο των πεπερασμένων διαφορών η οποία πηγάζει άμεσα από το πρόβλημα (4.1), η μέθοδος Galerkin βασίζεται στην ασθενή διατύπωση (4.3). Αν V_h είναι ένας διανυσματικός υπόχωρος του V πεπερασμένης διάστασης ο οποίος όπως θα δούμε παρακάτω κατασκευάζεται χρησιμοποιώντας την μέθοδο των πεπερασμένων στοιχείων, τότε η μέθοδος Galerkin προσεγγίζει την ακόλουθη ασθενή μορφή του προβλήματος (4.1),

$$(4.5) \quad \text{να βρεθεί} \quad u_h \in V_h : \alpha(u_h, v_h) = (f, v_h) \quad \forall v_h \in V_h.$$

Το παραπάνω πρόβλημα είναι ένα πρόβλημα πεπερασμένης διάστασης. Υποθέτουμε ότι το σύνολο $\{\varphi_1, \dots, \varphi_N\}$ αποτελεί μία βάση του χώρου V_h , δηλαδή το σύνολο αυτό αποτελείται από N σε πλήθος γραμμικές και ανεξάρτητες συναρτήσεις του V_h . Τότε μπορούμε να γράψουμε,

$$u_h(x) = \sum_{j=1}^N u_j \varphi_j(x),$$

όπου ο ακέραιος N υποδηλώνει την διάσταση του διανυσματικού χώρου V_h . Λαμβάνοντας $v_h = \varphi_i$, αποδεικνύεται ότι το πρόβλημα Galerkin (4.5) είναι ισοδύναμο με την αναζήτηση N αγνώστων συντελεστών $\{u_1, \dots, u_N\}$ τέτοιοι ώστε,

$$(4.6) \quad \sum_{j=1}^N u_j \alpha(\varphi_j, \varphi_i) = (f, \varphi_i) \quad \forall i = 1, \dots, N,$$

όπου χρησιμοποιήσαμε την παρακάτω ιδιότητα,

$$\alpha \left(\sum_{j=1}^N u_j \varphi_j, \varphi_i \right) = \sum_{j=1}^N u_j \alpha(\varphi_j, \varphi_i).$$

Αν θέσουμε $\mathbf{u} = [u_1, \dots, u_N]$ και $\mathbf{f}_G = [f_1, \dots, f_N]$, όπου $f_i = (f, \varphi_i)$, τότε το πρόβλημα (4.6) είναι ισοδύναμο με το ακόλουθο γραμμικό σύστημα,

$$(4.7) \quad A_G \mathbf{u} = \mathbf{f}_G,$$

όπου $A_G = (a_{ij})$ με $a_{ij} = \alpha(\varphi_j, \varphi_i)$ είναι ένας πίνακας, ο οποίος ονομάζεται και πίνακας ακαμψίας (**stiffness matrix**), με την δομή του να εξαρτάται από την μορφή που έχουν οι συναρτήσεις βάσης $\{\varphi_i\}$ και συνεπώς από τη επιλογή του χώρου V_h .

4.2 Ανάλυση της ευστάθειας της μεθόδου.

Εφοδιάζουμε τον χώρο $H_0^1(0, 1)$ με την ακόλουθη (ημι)-νόρμα,

$$(4.8) \quad |v|_{H^1(0,1)} = \left\{ \int_0^1 |v'(x)|^2 dx \right\}^{1/2}.$$

Αν οι συντελεστές α, β, γ του διαφορικού προβλήματος (4.1) ικανοποιούν την σχέση,

$$(4.9) \quad -\frac{1}{2}\beta' + \gamma \geq 0, \quad \forall x \in [0, 1],$$

τότε το πρόβλημα Galerkin (4.5) έχει **μοναδική λύση**. Εμείς θα ασχοληθούμε με την ειδική περίπτωση όπου $\beta=0$ και $\gamma(x) \geq 0$, και το πρόβλημα (4.1) λαμβάνει την ακόλουθη μορφή,

$$-(\alpha u')'(x) + (\gamma u)(x) = f(x), \quad 0 < x < 1.$$

Λαμβάνοντας $u_h = u_h$ στο πρόβλημα (4.5), μπορούμε να παρατηρήσουμε ότι,

$$\alpha(u_h, u_h) = \int_0^1 \alpha u_h' u_h' dx + \int_0^1 \gamma u_h u_h dx = (f, u_h),$$

και επειδή,

$$\alpha(u_h, u_h) = \int_0^1 \alpha(x) |u_h'|^2 dx \geq \alpha_0 \int_0^1 |u_h'|^2 dx = \alpha_0 |u_h|_{H^1(0,1)}^2,$$

έχουμε ότι,

$$\alpha_0 |u_h|_{H^1(0,1)}^2 \leq (f, u_h).$$

Επίσης,

$$(f, u_h) = \int_0^1 f u_h dx \leq \left(\int_0^1 |f|^2 dx \right)^{1/2} \left(\int_0^1 |u_h|^2 dx \right)^{1/2} = \|f\|_{L^2(0,1)} \|u_h\|_{L^2(0,1)},$$

όπου εφαρμόσαμε την ανισότητα Cauchy-Schwarz. Τέλος χρησιμοποιώντας την ανισότητα Poincare,

$$\|u_h\|_{L^2(0,1)} \leq C_p \|u_h^{(1)}\|_{L^2(0,1)},$$

καταλήγουμε στην ακόλουθη ανισοτική σχέση,

$$(4.10) \quad |u_h|_{H^1(0,1)} \leq \frac{C_p}{\alpha_0} \|f\|_{L^2(0,1)}.$$

Παρατήρηση 4.3 Παρατηρούμε ότι η νόρμα της λύσης του προβλήματος Galerkin είναι φραγμένη υπό την προϋπόθεση ότι η $f \in L^2(0, 1)$, συνεπώς η λύση του προβλήματος είναι ευσταθής.

4.3 Ανάλυση της σύγκλισης της μεθόδου.

Το παρακάτω θεώρημα επιβεβαιώνει τη σύγκλιση της μεθόδου Galerkin.

Θεώρημα 4.3.1 Έστω $C = \alpha_0^{-1}(\|\alpha\|_\infty + C_p^2 \|\gamma\|_\infty)$, αποδεικνύεται ότι,

$$(4.11) \quad |u - u_h|_{H^1(0,1)} \leq C \min_{w_h \in V_h} |u - w_h|_{H^1(0,1)}.$$

Απόδειξη.

Αρχικά στο πρόβλημα (4.3) θέτουμε $u = u_h$ με $u_h \in V_h \subset V$, οπότε το πρόβλημα (4.3) παίρνει την ακόλουθη μορφή,

$$(4.12) \quad \text{να βρεθεί} \quad u \in V : \alpha(u, u_h) = (f, u_h) \quad \forall u_h \in V_h.$$

Αφαιρώντας την σχέση (4.5) από την (4.12) και λόγω της διγραμμικής μορφής $\alpha(\cdot, \cdot)$ παρατηρούμε ότι,

$$(4.13) \quad \begin{aligned} \alpha(u, u_h) - \alpha(u_h, u_h) &= 0 \Rightarrow \\ \Rightarrow \alpha(u - u_h, u_h) &= 0. \end{aligned}$$

Στη συνέχεια θέτοντας $e(x) = u(x) - u_h(x)$ και προσθέτοντας και αφαιρώντας $w_h \in V_h$ συμπεραίνουμε ότι,

$$\alpha_0 |e|_{H^1(0,1)}^2 \leq \alpha(e, e) = \alpha(e, u - w_h) + \alpha(e, w_h - u_h) \quad \forall w_h \in V_h.$$

Ο τελευταίος όρος σύμφωνα με την σχέση (4.13) είναι ίσος με μηδέν, ενώ ο όρος $\alpha(e, u - w_h)$ χρησιμοποιώντας την ανισότητα Cauchy-Schwarz γράφεται ως εξής,

$$\alpha(e, u - w_h) = \int_0^1 \alpha e'(u - w_h)' dx + \int_0^1 \gamma e(u - w_h) dx \leq$$

$$\leq \|\alpha\|_\infty |e|_{H^1(0,1)} |u - w_h|_{H^1(0,1)} + \|\gamma\|_\infty \|e\|_{L^2(0,1)} \|u - w_h\|_{L^2(0,1)}.$$

Τέλος εφαρμόζοντας την ανισότητα Poincare στους όρους $\|e\|_{L^2(0,1)}$ και $\|u - w_h\|_{L^2(0,1)}$, δηλαδή

$$\|e\|_{L^2(0,1)} \leq C_p |e|_{H^1(0,1)}$$

και

$$\|u - w_h\|_{L^2(0,1)} \leq C_p |u - w_h|_{H^1(0,1)},$$

καταλήγουμε στη ζητούμενη σχέση (4.11). \square

Στην συνέχεια γενικεύουμε τα παραπάνω αποτελέσματα σε ασθενή προβλήματα της μορφής $\alpha(u, v) = \langle f, v \rangle$. Οι βασικές υποθέσεις επιλυσιμότητας αναφέρονται στον ακόλουθο ορισμό.

Ορισμός 4.3.1 Υποθέτουμε ότι ο χώρος V είναι ένας χώρος Hilbert εφοδιασμένος με την νόρμα $\|\cdot\|_V$. Λέμε ότι ένα διγραμμικό συναρτησοειδές $\alpha(u, v) : V \times V \rightarrow \mathbb{R}$ είναι

(i) **πιεστικό**, αν υπάρχει σταθερά $\alpha_0 > 0$ τέτοια ώστε

$$\alpha(u, v) \geq \alpha_0 \|v\|_V^2 \quad \forall v \in V,$$

ii) **συνεχές**, αν υπάρχει $M > 0$ τέτοια ώστε

$$|\alpha(u, v)| \leq M \|u\|_V \|v\|_V \quad \forall u, v \in V.$$

Οι ιδιότητες τώρα του διγραμμικού συναρτησιακού μας εξασφαλίζουν την επιλυσιμότητα του γραμμικού συστήματος.

Πρόταση 4.3.1 *Με χρήση του παραπάνω ορισμού θα δείξουμε ότι ο πίνακας A_G του προβλήματος (4.7) είναι θετικά ορισμένος.*

Απόδειξη:

Αρκεί να δείξουμε ότι $\forall \mathbf{v} \in \mathbb{R}^N$ με $\mathbf{v} \neq 0$ το παρακάτω γινόμενο είναι πάντα θετικό δηλαδή,

$$\mathbf{v}^T A_G \mathbf{v} > 0.$$

Αρχικά υποθέτουμε ότι οι συνιστώσες του διανύσματος $\mathbf{v} = (v_i) \in \mathbb{R}^N$ δίνονται από την ακόλουθη συνάρτηση $u_h = \sum_{j=1}^N v_j \varphi_j \in V_h$, και λόγω του παραπάνω ορισμού προκύπτει ότι,

$$\begin{aligned} \mathbf{v}^T A_G \mathbf{v} &= \sum_{j=1}^N \sum_{i=1}^N v_i \alpha_{ij} v_j = \sum_{j=1}^N \sum_{i=1}^N v_i \alpha(\varphi_j, \varphi_i) v_j \\ &= \sum_{j=1}^N \sum_{i=1}^N \alpha(v_j \varphi_j, v_i \varphi_i) = \alpha \left(\sum_{j=1}^N v_j \varphi_j, \sum_{i=1}^N v_i \varphi_i \right) \\ &= \alpha(u_h, u_h) \geq \alpha_0 \|u_h\|_V^2 \geq 0. \end{aligned}$$

Η ισότητα ισχύει στην περίπτωση που $u_h = 0$, δηλαδή $\mathbf{v} = 0$ το οποίο είναι άτοπο καθώς υποθέσαμε ότι $\mathbf{v} \neq 0$.

Παρατήρηση 4.4 Παρατηρούμε ότι ο πίνακας $A_G = (\alpha_{ij})$ με $\alpha_{ij} = \alpha(\varphi_j, \varphi_i)$ είναι συμμετρικός αν και μόνο αν η διγραμμική μορφή $\alpha(\cdot, \cdot)$ είναι συμμετρική. Για παράδειγμα στο πρόβλημα (4.1) αν υποθέσουμε ότι $\beta = \gamma = 0$, τότε ο πίνακας A_G είναι συμμετρικός και θετικά ορισμένος, ενώ αν υποθέσουμε ότι $\beta, \gamma \neq 0$, τότε ο πίνακας A_G είναι θετικά ορισμένος κάτω από την υπόθεση (4.9). Τέλος αν ο πίνακας A_G είναι συμμετρικός και θετικά ορισμένος, τότε το γραμμικό σύστημα (4.7) επιλύεται χρησιμοποιώντας άμεσες μεθόδους όπως η παραγοντιποίηση Cholesky. (Βλ. βιβλία [1,7,9])

Τόσο τα αποτελέσματα της ευστάθειας όσο και της σύγκλισης της μεθόδου Galerkin μπορούν να παρατηρηθούν και κάτω από γενικότερες υποθέσεις των προβλημάτων (4.3) και (4.5).

Θεώρημα 4.3.2 Lax Milgram Έστω V ένας χώρος Hilbert εφοδιασμένος με τις ιδιότητες του ορισμού 4.3.1. δηλαδή, το διγραμμικό συναρτησιακό είναι πειστικό και συνεχές. Τότε για οποιαδήποτε $f \in V^*$ υπάρχει μοναδική λύση $u \in V$ του προβλήματος (4.3), η οποία ικανοποιεί την ακόλουθη σχέση

$$(4.14) \quad \|u\| \leq \frac{1}{\alpha_0} \|f\|_{V^*},$$

όπου με V^* συμβολίζουμε τον δυϊκό του χώρου V .

Επίσης το δεξί μέλος του προβλήματος (4.3) ικανοποιεί την ακόλουθη ανισοτική σχέση,

$$(4.15) \quad |(f, v)| \leq K \|v\|_V \quad \forall v \in V.$$

Από τις σχέσεις (4.14) και (4.15) προκύπτει τελικά ότι τα προβλήματα (4.3) και (4.5) έχουν μοναδική λύση η οποία ικανοποιεί τις ακόλουθες σχέσεις αντίστοιχα,

$$\|u\|_V \leq \frac{K}{\alpha_0} \quad \text{και} \quad \|u_h\|_V \leq \frac{K}{\alpha_0}.$$

Λήμμα 4.3.1 *Ce'as* Έστω V ένας χώρος Hilbert εφοδιασμένος με τις ιδιότητες του ορισμού 4.3.1. Τότε,

$$(4.16) \quad \|u - u_h\|_V \leq \frac{M}{\alpha_0} \min_{w_h \in V_h} \|u - w_h\|_V.$$

Η τελευταία σχέση μας εξασφαλίζει την σύγκλιση της μεθόδου Galerkin.

4.4 Μέθοδος των πεπερασμένων στοιχείων.

Η μέθοδος των πεπερασμένων στοιχείων είναι μία ειδική αριθμητική μέθοδος την οποία χρησιμοποιούμε για την κατασκευή του υποχώρου V_h πάνω στον οποίο ορίσαμε το πρόβλημα (4.5). Η μέθοδος αυτή στηρίζεται στην κατά τμήματα πολυωνυμική παρεμβολή και για το σκοπό αυτό θεωρούμε μία διαμέριση T_h του διαστήματος $[0, 1]$ σε n υποδιαστήματα $I_j = [x_j, x_{j+1}]$ με εύρος $h_j = x_{j+1} - x_j$ και σε $n+1$ κόμβους

$$0 = x_0 < x_1 < \dots < x_{n-1} < x_n = 1,$$

όπου $j = 1, \dots, n-1$ και $n \geq 2$. Επίσης θέτουμε $h = \max_{T_h} (h_j)$.

Στην αρχή του Κεφ.4. ορίσαμε με V τον χώρο όλων των συναρτήσεων δοκιμής και καταλήξαμε στο συμπέρασμα από τις ιδιότητες του χώρου αυτού ότι ο V ταυτίζεται με τον χώρο Sobolev $H_0^1(0, 1)$, ο οποίος περιέχει τις συναρτήσεις που είναι συνεχείς στο $(0, 1)$ και μηδενίζονται στα σημεία $x=0$ και $x=1$.

Ορίζουμε τώρα,

$$X_h^k = \{v \in C^0([0, 1]) : v|_{I_j} \in \mathbb{P}_k(I_j) \forall I_j \in T_h\},$$

την οικογένεια των τμηματικών πολυωνύμων στο διάστημα $[0, 1]$, με $k \geq 1$. Οποιαδήποτε συνάρτηση $v_h \in X_h^k$ είναι ένα συνεχές τμηματικό πολυώνυμο στο διάστημα $[0, 1]$ του οποίου ο περιορισμός σε κάθε διάστημα $I_j \in T_h$ είναι ένα πολυώνυμο με βαθμό $\leq k$.

Στην συνέχεια θέτουμε,

$$(4.17) \quad V_h = X_h^{k,0} = \{v_h \in X_h^k : v_h(0) = v_h(1) = 0\}.$$

Η διάσταση N του χώρου V_h των πεπερασμένων στοιχείων είναι ίση με $nk - 1$.

Για την μελέτη της ακρίβειας της μεθόδου Galerkin με πεπερασμένα στοιχεία θεωρούμε αρχικά την τμηματική πολυωνυμική παρεμβολή **Lagrange** $\Pi_h^k u$ της ακριβής λύσης $u \in V$ του προβλήματος (4.3) (για τον ορισμό βλ.βιβλία [1,7,9]) και τότε από το λήμμα 4.3.2 έχουμε,

$$(4.18) \quad \min_{w_h \in V_h} \|u - w_h\|_{H_0^1(0,1)} \leq \|u - \Pi_h^k u\|_{H_0^1(0,1)}.$$

Από την τελευταία σχέση συμπεραίνουμε ότι το πρόβλημα εκτίμησης του σφάλματος προσέγγισης της μεθόδου Galerkin $\|u - u_h\|_{H_0^1(0,1)}$ είναι ισοδύναμο με το πρόβλημα εκτίμησης του σφάλματος παρεμβολής $\|u - \Pi_h^k u\|_{H_0^1(0,1)}$.

Λήμμα 4.4.1 Έστω $u \in H_0^1(0,1)$ η ακριβής λύση του προβλήματος (4.3) και $u_h \in V_h$ η αντίστοιχη προσεγγιστική η οποία προκύπτει χρησιμοποιώντας συνεχή τμηματικά πολυώνυμα βαθμού $k \geq 1$. Υποθέτουμε επίσης ότι $u \in H^s$, όπου $s \geq 2$. Κάτω από τις προϋποθέσεις αυτές ισχύει η ακόλουθη ανισοτική σχέση,

$$(4.19) \quad \|u - \Pi_h^k u\|_{H_0^1(0,1)} \leq Ch^l \|u\|_{H^{l+1}(0,1)},$$

όπου C είναι μία θετική σταθερά ανεξάρτητη του h και $l = \min(k, s - 1)$.

Απόδειξη.

(βλ.βιβλία [1,7,9]) □

Τέλος αν συνδιάσουμε τις σχέσεις (4.16),(4.18) και (4.19) προκύπτει η ακόλουθη εκτίμηση του σφάλματος της μεθόδου Galerkin με πεπερασμένα στοιχεία

$$(4.20) \quad \|u - u_h\|_{H_0^1(0,1)} \leq \frac{M}{\alpha_0} Ch^l \|u\|_{H^{l+1}(0,1)}.$$

Παρατήρηση 4.5 Υπάρχουν δύο τρόποι για την βελτίωση της ακρίβειας της μεθόδου. Ένας τρόπος είναι να αυξήσουμε τον βαθμό k των τμηματικών πολυωνύμων αλλά κάτι τέτοιο σύμφωνα με την σχέση (4.19) απαιτεί η λύση u να είναι επαρκώς ομαλή συνάρτηση, και ο δεύτερος τρόπος τον οποίο και εφαρμόζουμε στην μέθοδο αυτή είναι να μειώσουμε το μέγεθος του βήματος h .

Παρατήρηση 4.6 Από την τελευταία σχέση συμπεραίνουμε ότι η προσέγγιση του σφάλματος τείνει στο μηδέν όταν $h \rightarrow 0$, δηλαδή η μέθοδος Galerkin συγκλίνει και η τάξη σύγκλισης είναι l .

Παρατήρηση 4.7 Μία από τις υποθέσεις του λήμματος 4.4.1 ήταν ότι η ακριβής λύση $u \in H^s$ όπου $s \geq 2$. Στην περίπτωση τώρα που η λύση έχει ομαλότητα $s=1$, τότε προφανώς για τη μελέτη της σύγκλισης της μεθόδου Galerkin δεν μπορούμε να χρησιμοποιήσουμε την σχέση (4.20). Σε αυτή την περίπτωση το λήμμα Cea's μας εξασφαλίζει την σύγκλιση της μεθόδου καθώς όταν το $h \rightarrow 0$ ο υπόχωρος V_h γίνεται πυκνός στον χώρο V .

Παρακάτω δίνεται ο πίνακας 4.1 ο οποίος συνοψίζει την τάξη σύγκλισης της μεθόδου με πεπερασμένα στοιχεία για $k = 1, \dots, 4$ και $s = 1, \dots, 5$.

k	s = 1	s = 2	s = 3	s = 4	s = 5
1	συγκλίνει	h^1	h^1	h^1	h^1
2	συγκλίνει	h^1	h^2	h^2	h^2
3	συγκλίνει	h^1	h^2	h^3	h^3
4	συγκλίνει	h^1	h^2	h^3	h^4

Πίνακας 4.1. Τάξη σύγκλισης της μεθόδου με πεπερασμένα στοιχεία συναρτήσεως του k (βαθμός παρεμβολής) και του s (βαθμός ομαλότητας της λύσης u).

Παραπάνω ορίσαμε με X_h^k τον χώρο που περιέχει τα τμηματικά πολυώνυμα στο $[0,1]$. Θα ασχοληθούμε τώρα με την κατασκευή μίας κατάλληλης βάσης $\{\varphi_j\}$ για τον χώρο αυτό στις περιπτώσεις όπου το $k=1$ και $k=2$. Για τον σκοπό αυτό επιλέγουμε ένα σύνολο από κατάλληλες παραμέτρους (ή βαθμούς ελευθερίας) για κάθε στοιχείο I_j της διαμέρισης T_h , οι οποίες προσδιορίζουν μοναδικά μία συνάρτηση η οποία ανήκει στον χώρο X_h^k . Επομένως η συνάρτηση u_h στον χώρο X_h^k μπορεί να γραφεί ως γραμμικός συνδιασμός των στοιχείων της βάσης,

$$u_h(x) = \sum_{i=0}^{nk} u_i \varphi_i(x),$$

όπου με $\{u_i\}$ συμβολίζουμε το σύνολο των παραμέτρων της u_h . Επίσης υποθέτουμε ότι οι συναρτήσεις φ_i , οι οποίες αποτελούν την βάση του χώρου X_h^k , ικανοποιούν την ιδιότητα της παρεμβολής Lagrange $\varphi_i(x_j) = \delta_{ij}, i, j = 0, \dots, n$, όπου δ_{ij} είναι το σύμβολο του Kronecker (βλ. σχέση 3.25).

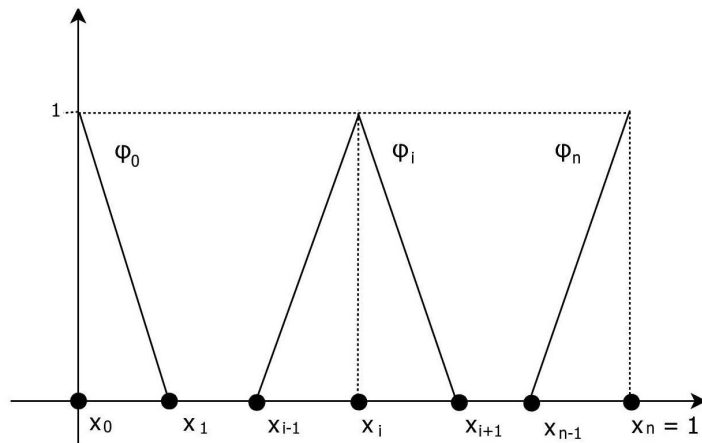
Ο χώρος X_h^1

Ο χώρος αυτός αποτελείται από όλες τις συναρτήσεις οι οποίες είναι συνεχείς και γραμμικές σε κάθε υποδιάστημα I_j της διαμέρισης T_h . Από τη στιγμή που μία μοναδική γραμμή διέρχεται από δύο διακριτούς κόμβους ο αριθμός των παραμέτρων που περιγράφει μοναδικά μία συνάρτηση στον χώρο X_h^1 είναι ίσος με τον αριθμό των κόμβων, δηλαδή ίσος με $n+1$. Επομένως για να παράγουμε τον χώρο X_h^1 χρειάζονται $n+1$ συναρτήσεις $\{\varphi_i\}_{i=0}^n$. Ορίζω λοιπόν τις

συναρτήσεις φ_i με $i = 1, \dots, n-1$ ως εξής,

$$(4.21) \quad \varphi_i(x) = \begin{cases} \frac{x-x_{i-1}}{x_i-x_{i-1}} & x_{i-1} \leq x \leq x_i, \\ \frac{x_{i+1}-x}{x_{i+1}-x_i} & x_i \leq x \leq x_{i+1}, \\ 0 & \text{αλλιώς.} \end{cases}$$

Κάθε συνάρτηση φ_i έχει μορφή "στέγης" όπως φαίνεται και από το σχήμα που ακολουθεί, είναι συνεχής, ομαλή και μη - μηδενική σε ένα μικρό τμήμα "περί του κόμβου i ". Επίσης παίρνει την τιμή 1 στον κόμβο x_i και την τιμή 0 στους υπόλοιπους κόμβους της διαμέρισης. Η ένωση των τμημάτων γύρω από τους κόμβους i όπου οι φ_i συναρτήσεις είναι μη - μηδενικές αποτελεί ένα υποσύνολο του διαστήματος $[0, 1]$ το οποίο ονομάζεται *υποστήριγμα* (*support*). Αναλυτικότερα το υποσύνολο αυτό αποτελείται από την ένωση των διαστημάτων I_{j-1} και I_j όταν $1 \leq i \leq n-1$, ενώ όταν $i = 0$ συμπίπτει με το διάστημα I_0 .



Σχήμα 4.1 Συναρτήσεις στέγες

Σε οποιοδήποτε διάστημα $I_i = [x_i, x_{i+1}]$, όπου $i = 0, \dots, n-1$, οι συναρτήσεις φ_i και φ_{i+1} μπορούν να θεωρηθούν ως οι εικόνες δύο συναρτήσεων "αναφοράς" $\hat{\varphi}_0$ και $\hat{\varphi}_1$ (οι οποίες ορίζονται στο διάστημα αναφοράς $[0, 1]$) μέσω της ακόλουθης ομοπαράλληλης απεικόνισης

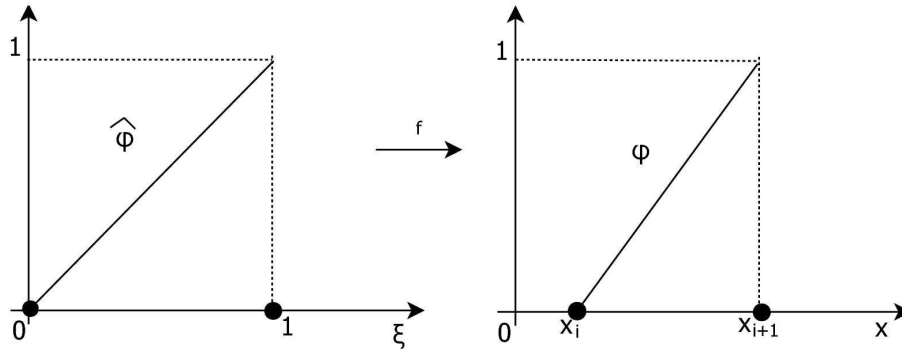
$$f : [0, 1] \rightarrow I_i$$

$$(4.22) \quad x = f(\xi) = x_i + \xi(x_{i+1} - x_i), \quad i = 0, \dots, n-1.$$

Στη συνέχεια ορίζοντας $\hat{\varphi}_0(\xi) = 1 - \xi$ και $\hat{\varphi}_1(\xi) = \xi$, οι συναρτήσεις φ_i και φ_{i+1} μπορούν να κατασκευαστούν στο διάστημα I_i ως εξής,

$$\varphi_i(x) = \hat{\varphi}_0(\xi(x)), \quad \varphi_{i+1} = \hat{\varphi}_1(\xi(x)),$$

όπου $\xi(x) = (x - x_i)(x_{i+1} - x_i)$.



Σχήμα 4.2 Ομοπαράλληλη απεικόνιση f από το διάστημα αναφοράς στο γενικό διάστημα της διαμέρισης

Ο χώρος X_h^2

Ο χώρος αυτός αποτελείται από όλες τις συναρτήσεις u_h οι οποίες είναι τμηματικά πολυώνυμα δευτέρου βαθμού σε κάθε διάστημα I_i . Για να προσδιορίσουμε τα πολυώνυμα αυτά χρειαζόμαστε τρεις τιμές αυτών σε τρία διακριτά σημεία των διαστημάτων I_i και για να εξασφαλίσουμε την συνέχεια της συνάρτησης u_h στο διάστημα $[0,1]$ οι παράμετροι που προσδιορίζουν μοναδικά την u_h , επιλέγονται να είναι οι τιμές της συνάρτησης στους κόμβους x_i της διαμέρισης T_h με $i = 0, \dots, n$, και στα μέσα των διαστημάτων I_i , με $i = 0, \dots, n - 1$. Έτσι ο αριθμός των παραμέτρων είναι ίσος με $2n+1$, επομένως χρειαζόμαστε $2n+1$ συναρτήσεις φ_i με $i = 0, \dots, 2n$ για να παράγουμε τον χώρο X_h^2 .

Πριν ορίσουμε τις συναρτήσεις αυτές είναι βολικό, αφού πρώτα έχουμε διαμερίσει το διάστημα $[0,1]$ σε $2n+1$ κόμβους ξεκινώντας από $x_0 = 0$ μέχρι $x_{2n} = 1$, να αντιστοιχίσουμε τα μέσα των διαστημάτων στους κόμβους με περιττό δείκτη και τα άκρα των διαστημάτων στους κόμβους με άρτιο δείκτη.

Επιλέγουμε τώρα τις συναρτήσεις φ_i ανάλογα με το αν ο δείκτης i είναι άρτιος ή περιττός, έτσι για i άρτιο, δηλαδή στα άκρα των διαστημάτων οι συναρτήσεις φ_i έχουν την ακόλουθη μορφή,

$$(4.23) \quad \varphi_i(x) = \begin{cases} \frac{(x-x_{i-1})(x-x_{i-2})}{(x_i-x_{i-1})(x_i-x_{i-2})} & x_{i-2} \leq x \leq x_i, \\ \frac{(x_{i+1}-x)(x_{i+2}-x)}{(x_{i+1}-x_i)(x_{i+2}-x_i)} & x_i \leq x \leq x_{i+2}, \\ 0 & \text{αλλιώς.} \end{cases}$$

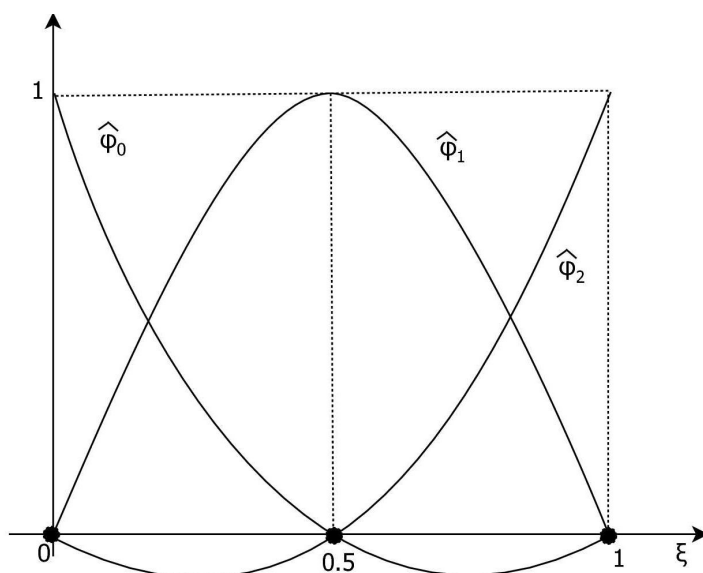
ενώ για i περιττό, δηλαδή στα μέσα των διαστημάτων,

$$(4.24) \quad \varphi_i(x) = \begin{cases} \frac{(x_{i+1}-x)(x-x_{i-1})}{(x_{i+1}-x_i)(x_i-x_{i-1})} & x_{i-1} \leq x \leq x_{i+1}, \\ 0 & \text{αλλιώς.} \end{cases}$$

Κάθε συνάρτηση φ_i ικανοποιεί την ιδιότητα της παρεμβολής Lagrange $\varphi_i(x_j) = \delta_{ij}$, όπου $i, j = 0, \dots, 2n$. Οι αντίστοιχες τώρα συναρτήσεις στο διάστημα αναφοράς $[0,1]$ οι οποίες απεικονίζονται και στο σχήμα που ακολουθεί είναι,

$$(4.25) \quad \hat{\varphi}_0(\xi) = (1-\xi)(1-2\xi), \hat{\varphi}_1(\xi) = 4(1-\xi)\xi, \hat{\varphi}_2(\xi) = \xi(2\xi-1).$$

Όπως ακριβώς και στην περίπτωση του χώρου X_h^1 οι συναρτήσεις (4.23) και (4.24) αποτελούν τις εικόνες των συναρτήσεων (4.25) μέσω της ομοπαράλληλης απεικόνισης (4.22).



Σχήμα 4.3 Συναρτήσεις βάσης του χώρου X_h^2 στο διάστημα αναφοράς.

Μέχρι στιγμής έχουμε ασχοληθεί μόνο με τις συναρτήσεις βάσης οι οποίες ικανοποιούν τις ιδιότητες της παρεμβολής Lagrange. Αν αυτός ο περιορισμός πάψει να υφίσταται, τότε θα προκύψουν διαφορετικά είδη συναρτήσεων βάσης. Ένα παράδειγμα στο διάστημα αναφοράς αποτελούν οι ιεραρχικές συναρτήσεις βάσης,

$$(4.26) \quad \hat{\psi}_0(\xi) = 1 - \xi, \hat{\psi}_1(\xi) = (1 - \xi)\xi, \hat{\psi}_2(\xi) = \xi,$$

οι οποίες ονομάζονται έτσι, διότι παράγονται χρησιμοποιώντας τις συναρτήσεις βάσης του υποχώρου με την αμέσως μικρότερη διάσταση, δηλαδή του X_h^1 . Για την ακρίβεια η συνάρτηση

$\widehat{\psi}_1 \in X_h^2$ προκύπτει ως συνδιασμός των συναρτήσεων $\widehat{\psi}_0$ και $\widehat{\psi}_2$ οι οποίες ανήκουν στον χώρο X_h^1 .

Για να ελέγξουμε τώρα ότι οι συναρτήσεις (4.26) αποτελούν όντως μία βάση του χώρου X_h^2 , αρκεί να επαληθεύσουμε ότι οι συναρτήσεις αυτές είναι γραμμικά ανεξάρτητες, δηλαδή

$$\alpha_0 \widehat{\psi}_0(\xi) + \alpha_1 \widehat{\psi}_1(\xi) + \alpha_2 \widehat{\psi}_2(\xi) = 0, \forall \xi \in [0, 1] \Leftrightarrow \alpha_0 = \alpha_1 = \alpha_2 = 0,$$

πράγμα που στην περίπτωση μας ισχύει καθώς αν

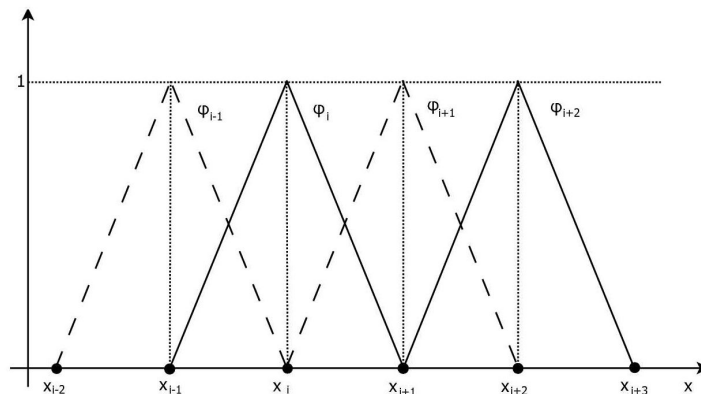
$$\sum_{i=0}^2 \alpha_i \widehat{\psi}_i(\xi) = \alpha_0 + \xi(\alpha_1 - \alpha_0 + \alpha_2) - \alpha_1 \xi^2 = 0 \quad \forall \xi \in [0, 1],$$

τότε υποχρεωτικά έχουμε ότι $\alpha_0 = \alpha_1 = 0$ και άρα $\alpha_2 = 0$.

Ανάλογες διαδικασίες με παραπάνω μπορούν να εφαρμοστούν και για την κατασκευή της βάσης οποιουδήποτε υποχώρου X_h^k , όπου το k είναι αυθαίρετο. Επισημαίνουμε ότι η αύξηση του βαθμού k της πολυωνυμικής προσέγγισης και κατ'επέκταση του πλήθους των βαθμών ελευθερίας έχει ως άμεση συνέπεια την αύξηση του κόστους υπολογισμού της λύσης του γραμμικού συστήματος (4.7).

Θα ασχοληθούμε τώρα με την δομή και τις ιδιότητες του πίνακα ακαμψίας A_G του γραμμικού συστήματος (4.7) στην περίπτωση της μεθόδου με πεπερασμένα στοιχεία ($A_G = A_{fe}$). Η βασική ιδέα της μεθόδου είναι να ανάγουμε το υπολογιστικό πρόβλημα στη λύση ενός γραμμικού συστήματος του οποίου ο πίνακας περιέχει "λίγα" μη μηδενικά στοιχεία.

Πράγματι, από την στιγμή που οι συναρτήσεις βάσης του υποχώρου X_h^k έχουν τοπικό υποστήριγμα τα περισσότερα στοιχεία του πίνακα A_{fe} είναι μηδενικά. Συγκεκριμένα στην περίπτωση όπου $k = 1$ το υποστήριγμα της συνάρτησης στέγης φ_i όπως έχουμε αναφέρει είναι η ένωση των διαστημάτων I_{i-1} και I_i όταν $1 \leq i \leq n-1$, ενώ όταν το $i = 0$ συμπίπτει με το διάστημα I_0 . Άμεση συνέπεια των παραπάνω είναι ότι για ένα σταθερό $i = 1, \dots, n-1$ οι συναρτήσεις στέγες φ_{i-1} και φ_{i+1} είναι οι μοναδικές που έχουν μη - μηδενικό υποστήριγμα, το οποίο διασταυρώνεται με το υποστήριγμα της φ_i (βλ. σχήμα 4.4). Έτσι καταλήγουμε στο συμπέρασμα ότι ο πίνακας A_{fe} είναι τριδιαγώνιος καθώς $a_{ij} = 0$ όταν $j \notin \{i-1, i, i+1\}$.



Σχήμα 4.4 Οι συναρτήσεις στέγες φ_{i-1} , φ_i , φ_{i+1} και φ_{i+2} .

Θα υπολογίσουμε τώρα αναλυτικά τα στοιχεία α_{ij} του πίνακα A_{fe} . Αρχικά θεωρούμε μία ομοιόμορφη διαμέριση του διαστήματος $[0,1]$ με $x_i = x_{i-1} + h$, $i = 1, \dots, n$ και $h = \frac{1}{n}$. Επίσης όπου φ_i είναι οι συναρτήσεις που δίνονται από την σχέση (4.21), ενώ όπου φ'_i είναι οι αντίστοιχες παράγωγοι τους, δηλαδή

$$(4.27) \quad \varphi'_i(x) = \begin{cases} \frac{1}{h} & x_{i-1} \leq x \leq x_i, \\ -\frac{1}{h} & x_i \leq x \leq x_{i+1}. \end{cases}$$

Στην συνέχεια χρησιμοποιώντας την διγραμμική μορφή (4.4) και υποθέτοντας ότι α , β , γ είναι σταθερές έχουμε ότι,

$$\begin{aligned} \alpha_{i,i-1} &= \alpha(\varphi_i, \varphi_{i-1}) = \int_0^1 \alpha \varphi'_i(x) \varphi'_{i-1}(x) dx + \int_0^1 \beta \varphi'_i(x) \varphi_{i-1}(x) dx + \int_0^1 \gamma \varphi_i(x) \varphi_{i-1}(x) dx = \\ &= \sum_{i=1}^n \left(\int_{x_{i-1}}^{x_i} \alpha \varphi'_i(x) \varphi'_{i-1}(x) dx + \int_{x_{i-1}}^{x_i} \beta \varphi'_i(x) \varphi_{i-1}(x) dx + \int_{x_{i-1}}^{x_i} \gamma \varphi_i(x) \varphi_{i-1}(x) dx \right) = -\frac{\alpha}{h} + \frac{\beta}{2} + \frac{\gamma h}{6}, \end{aligned}$$

Ομοίως προκύπτουν και τα υπόλοιπα στοιχεία των διαγωνίων του πίνακα A_{fe} ,

$$\alpha_{i,i+1} = -\frac{\alpha}{h} - \frac{\beta}{2} + \frac{\gamma h}{6} \quad \alpha_{i,i} = \frac{2\alpha}{h} + \frac{2}{3}\gamma h,$$

και ο πίνακας A_{fe} έχει τελικά την ακόλουθη μορφή,

$$A_{fe} = \begin{bmatrix} \frac{2\alpha}{h} + \frac{2\gamma h}{3} & -\frac{\alpha}{h} - \frac{\beta}{2} + \frac{\gamma h}{6} & 0 & \dots & 0 \\ -\frac{\alpha}{h} + \frac{\beta}{2} + \frac{\gamma h}{6} & \frac{2\alpha}{h} + \frac{2\gamma h}{3} & -\frac{\alpha}{h} - \frac{\beta}{2} + \frac{\gamma h}{6} & & \vdots \\ 0 & \ddots & \ddots & \ddots & 0 \\ \vdots & \dots & -\frac{\alpha}{h} + \frac{\beta}{2} + \frac{\gamma h}{6} & \frac{2\alpha}{h} + \frac{2\gamma h}{3} & -\frac{\alpha}{h} - \frac{\beta}{2} + \frac{\gamma h}{6} \\ 0 & \dots & 0 & -\frac{\alpha}{h} + \frac{\beta}{2} + \frac{\gamma h}{6} & \frac{2\alpha}{h} + \frac{2\gamma h}{3} \end{bmatrix}$$

Παρακάτω δίνεται ο δείκτης κατάστασης του πίνακα A_{fe} χρησιμοποιώντας την $\|\cdot\|_2$,

$$K_2(A_{fe}) = \|A_{fe}\|_2 \|A_{fe}^{-1}\|_2 = \mathcal{O}(h^{-2}).$$

Ο δείκτης αυτός μας δίνει ένα φράγμα για το πόσο ανακριβής μπορεί να είναι η λύση του συστήματος (4.7) μετά την εφαρμογή της μεθόδου των πεπεραμένων στοιχείων. Έχουμε

αναφέρει ότι για να βελτιώσουμε την ακρίβεια της μεθόδου αρκεί να μειώσουμε το μέγεθος του βήματος h . Παρατηρούμε όμως ότι όταν το $h \rightarrow 0$ το $K_2(A_{fe}) \rightarrow \infty$ το οποίο έρχεται σε αντίφαση με τα παραπάνω.

Παρατήρηση 4.8 Επειδή ο δείκτης κατάστασης του γραμμικού συστήματος (4.7) είναι πολύ μεγαλύτερος του 1 ($\gg 1$) το σύστημα καλείται "κακής κατάστασης" και για την επίλυση του απαιτούνται ειδικές τεχνικές. Επισημαίνεται πάντως πως η επιλυσιμότητα των γραμμικών συστημάτων που προκύπτουν με τη διαδικασία διακριτοποίησης των πεπερασμένων στοιχείων, εξασφαλίζεται με σχετικά γρήγορο και ευσταθή τρόπο. (βλ. κεφάλαια 3,4,5 του [1])

4.5 Φασματικές μέθοδοι

Η βασική διαφορά των φασματικών μεθόδων σε σχέση με τις μεθόδους πεπερασμένων στοιχείων είναι ότι οι πρώτες προσεγγίζουν την λύση ως γραμμικό συνδιασμό συνεχών συναρτήσεων οι οποίες είναι μη-μηδενικές σε ολόκληρη την περιοχή της λύσης, ενώ στην μέθοδο των πεπερασμένων στοιχείων οι συναρτήσεις είναι μη-μηδενικές σε μικρές υποπεριοχές. Έτσι στην πρώτη περίπτωση έχουμε μία συνολική προσέγγιση της λύσης σε αντίθεση με την δεύτερη περίπτωση όπου η προσέγγιση γίνεται τοπικά.

Η μέθοδος αυτή εφαρμόζεται είτε χρησιμοποιώντας την μέθοδο ταξινόμησης είτε την μέθοδο Galerkin. Στην παράγραφο αυτή θα ασχοληθούμε με το πως διαμορφώνεται το πρόβλημα προσέγγισης της μεθόδου Galerkin (4.5) χρησιμοποιώντας τις φασματικές μεθόδους.

Αρχικά θεωρούμε ότι το πρόβλημα (4.1) ορίζεται στο διάστημα $(-1, 1)$. Στη συνέχεια ορίζουμε μία κατανομή κόμβων $\{x_0, \dots, x_n\}$, η οποία συμπίπτει με τα $n + 1$ Legendre-Gauss-Lobatto σημεία. Τα σημεία αυτά είναι οι $n + 1$ ρίζες των πολυωνύμων P_{n+1} βαθμού $n + 1$ στο διάστημα $[-1, 1]$, όπου $\{P_k\}$ είναι μία ακολουθία ορθογωνίων πολυωνύμων στο $[-1, 1]$ με συνάρτηση βάρους $w = 1$. Παρακάτω δίνεται ο ορισμός των ορθογωνίων πολυωνύμων.

Ορισμός 4.5.1 Τα πολυώνυμα P_k με $k = 0, 1, \dots$, καλούνται ορθογώνια με συνάρτηση βάρους $w = 1$, στο γενικό διάστημα $[a, b]$ αν,

$$(i) \text{ ο βαθμός του } P_k \text{ είναι } k, k = 0, 1, 2, \dots,$$

και

$$(ii) \int_a^b P_i P_j dx = \begin{cases} 0 & \text{αν } i \neq j, \\ \neq 0 & \text{αν } i = j. \end{cases}$$

Η ακολουθία τώρα $\{P_k\}$ των ορθογωνίων πολυωνύμων μπορεί να κατασκευαστεί στο γενικό διάστημα $[a, b]$ από τα αντίστοιχα πολυώνυμα Legendre p_k στο $[-1, 1]$ με τον τύπο

$$P_k(x) = \frac{2}{b-a} p_k\left(\frac{a+b}{2} + \frac{b-a}{2}x\right),$$

καί τα πολυώνυμα Legendre με την σειρά τους, με τον επαναληπτικό τύπο

$$(k+1)p_{k+1} - (2k+1)xp_k + kp_{k-1} = 0 \quad \text{με} \quad p_0 = 1 \quad \text{καί} \quad p_1 = x.$$

Σύμφωνα με τον κανόνα τετραγωνισμού του Gauss το βαθμωτό γινόμενο $(u, v) = \int_{-1}^1 u v dx$ στον χώρο $L^2(-1, 1)$ προσεγγίζεται από το ακόλουθο άθροισμα,

$$(4.28) \quad (u, v)_n \approx \sum_{j=0}^n u(x_j)v(x_j)w_j,$$

όπου w είναι μία αυστηρά θετική ολοκληρώσιμη συνάρτηση η οποία καλείται συνάρτηση βάρους του τύπου τετραγωνισμού Legendre-Gauss-Lobatto.

Επίσης υποθέτουμε ότι η προσεγγιστική λύση u_h είναι ένα πολυώνυμο βαθμού n και ορίζουμε με \mathbb{P}_n^0 το σύνολο των πολυωνύμων $p \in \mathbb{P}_n([-1, 1])$ έτσι ώστε $p(-1) = p(1) = 0$.

Το πρόβλημα Galerkin (4.5) παίρνει τώρα την ακόλουθη μορφή,

$$(4.29) \quad \text{να βρεθεί} \quad u_n \in \mathbb{P}_n^0 : a_n(u_n, v_n) = (f, v_n)_n \quad \forall v_n \in \mathbb{P}_n^0,$$

όπου a_n είναι μία διγραμμική μορφή η οποία προκύπτει από την σχέση (4.4) αντικαθιστώντας τα ολοκληρώματα από την σχέση (4.28), δηλαδή

$$a_n(u_n, v_n) = (au'_n, v'_n)_n + (\beta u'_n, v_n)_n + (\gamma u_n, v_n)_n.$$

Η παραπάνω προσέγγιση (4.29) ονομάζεται τώρα *γενικευμένη προσέγγιση Galerkin*. Η ανάλυση της απαιτεί περισσότερη προσοχή σε σχέση με την ανάλυση της μεθόδου Galerkin και βρίσκεται εκτός πλαισίου αυτής της διπλωματικής εργασίας.

Κεφάλαιο 5

Εξισώσεις μεταφοράς-διάχυσης.

Τα συνοριακά προβλήματα της μορφής (4.1) χρησιμοποιούνται για να περιγράψουν διαδικασίες διάχυσης, μεταφοράς και απορρόφησης μίας συγκεκριμένης ποσότητας η οποία συμβολίζεται με $u(x)$. Με τον όρο $-(au)'$ συμβολίζουμε την διάχυση, με $\beta u'$ την μεταφορά και με γu την απορρόφηση.

Για παράδειγμα αν θεωρήσουμε ότι $\alpha = \varepsilon$, $\gamma = 0$ και $\beta = \text{σταθερά} \gg 1$ τότε έχουμε το ακόλουθο πρόβλημα συνοριακών τιμών,

$$(5.1) \quad -\varepsilon u'' + \beta u' = 0, \quad 0 < x < 1,$$

$$(5.2) \quad u(0) = 0, \quad u(1) = 1,$$

όπου ε, β είναι δύο θετικές σταθερές τέτοιες ώστε $\frac{\varepsilon}{\beta} \ll 1$. Το παραπάνω πρόβλημα μπορεί να είναι απλό, αλλά περιγράφει ένα πολύ ενδιαφέρον πρόβλημα μεταφοράς-διάχυσης, όπου η μεταφορά υπερισχύει της διάχυσης.

Ορισμός 5.0.2 Ορίζουμε τον παγκόσμιο αριθμό Péclet ως,

$$(5.3) \quad \mathbb{P}e_{gl} = \frac{|\beta|L}{2\varepsilon},$$

όπου L είναι το εύρος του πεδίου ορισμού (στην περίπτωση μας είναι ίσο με 1). Ο αριθμός Péclet μετράει την υπεροχή του όρου που συμβολίζει την μεταφορά έναντι του όρου που συμβολίζει την διάχυση.

Η αντίστοιχη τώρα ασθενής διατύπωση του προβλήματος (5.1) είναι,

$$(5.4) \quad \text{να βρεθεί} \quad u \in H_0^1(0, 1) : a(u, v) = 0 \quad \forall v \in H_0^1(0, 1),$$

όπου $a(\cdot, \cdot)$ είναι η διγραμμική μορφή η οποία δίνεται από την ακόλουθη σχέση,

$$a(u, v) = \varepsilon \int_0^1 u'v'dx + \beta \int_0^1 u'vdx.$$

Λόγω της συνέχειας του διγραμμικού συναρτησοειδούς έχουμε ότι,

$$|a(u, v)| \leq \varepsilon \|u'\|_{L^2(0,1)} \|v'\|_{L^2(0,1)} + \beta \|u'\|_{L^2(0,1)} \|v\|_{L^2(0,1)}.$$

Εφαρμόζοντας την ανισότητα Poincare,

$$\|v\|_{L^2(0,1)} \leq C_p \|v'\|_{L^2(0,1)},$$

προκύπτει τελικά ότι,

$$\begin{aligned} |a(u, v)| &\leq \varepsilon \|u'\|_{L^2(0,1)} \|v'\|_{L^2(0,1)} + \beta C_p \|u'\|_{L^2(0,1)} \|v'\|_{L^2(0,1)} \leq \\ &\leq (\varepsilon + \beta C_p) \|u'\|_{L^2(0,1)} \|v'\|_{L^2(0,1)}. \end{aligned}$$

Στην συνέχεια θέτουμε $M = \varepsilon + \beta C_p$ και $a_0 = \varepsilon$ και η εκτίμηση σφάλματος της μεθόδου Galerkin η οποία δίνεται από την σχέση (4.20) στην ειδική περίπτωση όπου το $k = 1$ παίρνει τώρα την ακόλουθη μορφή,

$$\|u - u_h\|_{H_0^1(0,1)} \leq \frac{(\varepsilon + \beta C_p)}{\varepsilon} ch \|u\|_{H^2(0,1)} \leq ch \|u\|_{H^2(0,1)} + \frac{\beta C_p}{\varepsilon} ch \|u\|_{H^2(0,1)}$$

Από την τελευταία σχέση παρατηρούμε ότι η εκτίμηση του σφάλματος για να έχει νόημα και να είναι τουλάχιστον φραγμένη για μικρές τιμές του ε πρέπει

$$h \leq \frac{\varepsilon}{\beta C_p c} \quad \text{ή ισοδύναμα όταν} \quad h \approx \left(\frac{M}{a_0}\right)^{-1}.$$

Έτσι καταλήγουμε στο συμπέρασμα ότι στην περίπτωση που ο όρος α είναι πολύ μικρότερος από τον όρο β ή τον όρο γ του προβλήματος (4.1) η μέθοδος Galerkin μπορεί να είναι ακατάλληλη στο να επιφέρει ακριβή αριθμητικά αποτελέσματα.

Υπολογίζουμε τώρα την ακριβή λύση του προβλήματος (5.1)-(5.2). Παρατηρούμε ότι πρόκειται για μία διαφορική εξίσωση με σταθερούς συντελεστές και με χαρακτηριστική εξίσωση την $-\varepsilon \lambda^2 + \beta \lambda = 0$, οι ρίζες της οποίας είναι $\lambda_1 = 0$ και $\lambda_2 = \beta/\varepsilon$. Έτσι έχουμε την ακόλουθη λύση,

$$u(x) = C_1 e^{\lambda_1 x} + C_2 e^{\lambda_2 x} = C_1 + C_2 e^{\frac{\beta}{\varepsilon} x},$$

όπου C_1 και C_2 είναι αυθαίρετες σταθερές. Τέλος εφαρμόζοντας τις συνοριακές συνθήκες έχουμε ότι $C_1 = -\frac{1}{e^{\beta/\varepsilon} - 1} = -C_2$ με αποτέλεσμα η λύση τώρα να γράφεται ως εξής,

$$u(x) = \frac{\exp(\beta x/\varepsilon) - 1}{\exp(\beta/\varepsilon) - 1}.$$

Παρατηρούμε ότι αν το $\beta/\varepsilon \ll 1$ μπορούμε να αναπτύξουμε τα εκθετικά και τότε έχουμε ότι,

$$u(x) = (1 + \frac{\beta}{\varepsilon} x + \dots - 1)/(1 + \frac{\beta}{\varepsilon} + \dots - 1) \cong (\beta x/\varepsilon)(\beta/\varepsilon) = x,$$

δηλαδή η λύση είναι κοντά με την λύση του οριακού προβλήματος $-εu'' = 0$, η οποία είναι μία ευθεία γραμμή η οποία παρεμβάλει τα συνοριακά στοιχεία.

Από την άλλη αν το $\beta/\varepsilon \gg 1$ τα εκθετικά παίρνουν μεγάλες τιμές με αποτέλεσμα,

$$u(x) \cong \frac{\exp(\beta/\varepsilon x)}{\exp(\beta/\varepsilon)} = \exp\left[-\frac{\beta}{\varepsilon}(1-x)\right].$$

Από την στιγμή που ο εκθέτης είναι μεγάλος και αρνητικός η λύση είναι σχεδόν παντού μηδενική εκτός από μία μικρή περιοχή γύρω από το σημείο $x = 1$ όπου ο όρος $1-x$ γίνεται πολύ μικρός και η λύση τότε παίρνει την τιμή 1 με εκθετική συμπεριφορά. Το εύρος αυτής της περιοχής είναι της τάξεως ε/β και είναι αρκετά μικρό.

Οι παραπάνω παρατηρήσεις επισημαίνουν την πολυπλοκότητα του προβλήματος και την εξάρτηση της λύσης από το ε .

5.1 Διακριτοποίηση και επίλυση του προβλήματος.

Το συνεχές πρόβλημα (5.1)-(5.2) διακριτοποιείται εφαρμόζοντας την μέθοδο Galerkin με πεπερασμένα στοιχεία στην ειδική περίπτωση που ο χώρος των πεπερασμένων στοιχείων είναι ο X_h^1 ως εξής,

$$(5.5) \quad \text{να βρεθεί} \quad u_h \in X_h^1 : a(u_h, v_h) = 0 \quad \forall v_h \in X_h^{1,0},$$

όπου $u_h(0) = 0$ και $u_h(1) = 1$ είναι οι αντίστοιχες συνοριακές συνθήκες και $a(\cdot, \cdot)$ είναι η ακόλουθη διγραμμική μορφή,

$$(5.6) \quad a(u_h, v_h) = \int_0^1 (\varepsilon u_h' v_h' + \beta u_h' v_h) dx.$$

Λαμβάνοντας στο πρόβλημα (5.1) ως συνάρτηση δοκιμής v_h τη γενική συνάρτηση βάσης φ_i έχουμε την εξής μορφή του προβλήματος,

$$\int_0^1 \varepsilon u_h' \varphi_i' dx + \int_0^1 \beta u_h' \varphi_i dx = 0, \quad i = 1, \dots, n-1.$$

Στη συνέχεια θέτοντας $u_h(x) = \sum_{j=0}^n u_j \varphi_j(x)$ και υπενθυμίζοντας ότι οι συναρτήσεις βάσης φ_i είναι μη-μηδενικές στο διάστημα $[x_{i-1}, x_{i+1}]$ για $i = 1, \dots, n-1$ το παραπάνω πρόβλημα ανάγεται στο ακόλουθο,

$$\begin{aligned} & \varepsilon \left[u_{i-1} \int_{x_{i-1}}^{x_i} \varphi_{i-1}' \varphi_i' dx + u_i \int_{x_{i-1}}^{x_{i+1}} (\varphi_i')^2 dx + u_{i+1} \int_{x_i}^{x_{i+1}} \varphi_i' \varphi_{i+1}' dx \right] \\ & + \beta \left[u_{i-1} \int_{x_{i-1}}^{x_i} \varphi_{i-1}' \varphi_i dx + u_i \int_{x_{i-1}}^{x_{i+1}} \varphi_i' \varphi_i dx + u_{i+1} \int_{x_i}^{x_{i+1}} \varphi_{i+1}' \varphi_i dx \right] = 0. \end{aligned}$$

Θεωρούμε τώρα μία ομοιόμορφη διαμέριση του διαστήματος $[0, 1]$ με $x_i = x_{i-1} + h$ για $i = 1, \dots, n$ και $h = \frac{1}{n}$. Στην συνέχεια αντικαθιστούμε τις συναρτήσεις φ_i και φ'_i από τις σχέσεις (4.21) και (4.27) αντίστοιχα με αποτέλεσμα να προκύψει ότι,

$$(5.7) \quad \frac{\varepsilon}{h} (-u_{i-1} + 2u_i - u_{i+1}) + \frac{1}{2}\beta(u_{i+1} - u_{i-1}) = 0, \quad i = 1, \dots, n-1.$$

Αν πολλαπλασιάσουμε την τελευταία σχέση με h/ε και ορίσουμε τον τοπικό αριθμό Péclet να είναι

$$\mathbb{P}e = \frac{|\beta|h}{2\varepsilon},$$

το πρόβλημα θα πάρει τελικά την ακόλουθη μορφή,

$$(5.8) \quad (\mathbb{P}e - 1)u_{i+1} + 2u_i - (\mathbb{P}e + 1)u_{i-1} = 0, \quad i = 0, \dots, n-1.$$

Αυτή είναι μία εξίσωση διαφορών της οποίας η λύση έχει την μορφή $u_i = A_1\rho_1^i + A_2\rho_2^i$, όπου A_1, A_2 είναι δύο κατάλληλες σταθερές και ρ_1, ρ_2 είναι οι ρίζες της ακόλουθης χαρακτηριστικής εξίσωσης,

$$(\mathbb{P}e - 1)\rho^2 + 2\rho - (\mathbb{P}e + 1) = 0.$$

Αναλυτικότερα,

$$\rho_{1,2} = \frac{-1 \pm \sqrt{1 + \mathbb{P}e^2 - 1}}{\mathbb{P}e - 1} = \begin{cases} \frac{1+\mathbb{P}e}{1-\mathbb{P}e}, \\ 1. \end{cases}$$

Εφαρμόζοντας τις συνοριακές συνθηκές στα σημεία $x = 0$ και $x = 1$ βρίσκουμε ότι,

$$A_1 = 1 / \left(1 - \left(\frac{1 + \mathbb{P}e}{1 - \mathbb{P}e} \right)^n \right) \quad \text{και} \quad A_2 = -A_1,$$

και η λύση τελικά του προβλήματος (5.8) είναι,

$$u_i = \left(1 - \left(\frac{1 + \mathbb{P}e}{1 - \mathbb{P}e} \right)^i \right) / \left(1 - \left(\frac{1 + \mathbb{P}e}{1 - \mathbb{P}e} \right)^n \right), \quad i = 0, \dots, n.$$

Παρατήρηση 5.1 Παρατηρούμε ότι αν $\mathbb{P}e > 1$ εμφανίζεται στον αριθμητή της παραπάνω λύσης μία δύναμη με αρνητική βάση η οποία έχει ως αποτέλεσμα να έχουμε μία "ταλαντούμενη" λύση. Για να αποφύγουμε τέτοιου είδους λύσεις επιλέγουμε το μέγεθος του βήματος h να είναι μικρό με έναν τέτοιο τρόπο ώστε $\mathbb{P}e < 1$. Η προσέγγιση αυτή πολλές φορές δεν είναι πρακτική, για παράδειγμα αν το $\beta=1$ και $\varepsilon = 5 \cdot 10^{-5}$ θα πρέπει το βήμα h να είναι μικρότερο του 10^{-4} ($h < 10^{-4}$), πράγμα που σημαίνει ότι θα πρέπει να υποδιαιρέσουμε το διάστημα $[0, 1]$ σε 10000 υποδιαστήματα, μία στρατηγική η οποία παρουσιάζει προβλήματα όταν έχουμε να αντιμετωπίσουμε πολυδιάστατα προβλήματα.

5.2 Σύγκριση των μεθόδων των Π.Σ και των Π.Δ.

Θα εξετάσουμε τώρα τη συμπεριφορά της μεθόδου των πεπερασμένων διαφορών όταν εφαρμόζεται στην επίλυση προβλημάτων μεταφοράς-διάχυσης σε σχέση με την μέθοδο των πεπερασμένων στοιχείων. Υποθέτουμε πάλι ότι έχουμε το πρόβλημα (5.1) – (5.2) και για να εξασφαλίσουμε ότι το τοπικό σφάλμα διακριτοποίησης είναι δεύτερης τάξης προσεγγίζουμε τις παραγώγους $u'(x_i)$ και $u''(x_i)$, $i = 1, \dots, n - 1$ στο κεντρικό σημείο παρεμβολής x_i (βλ. κεφ 3) και έτσι προκύπτει το ακόλουθο πρόβλημα πεπερασμένων διαφορών,

$$(5.9) \quad -\varepsilon \frac{u_{i+1} - 2u_i + u_{i-1}}{h^2} + \beta \frac{u_{i+1} - u_{i-1}}{2h} = 0, \quad i = 1, \dots, n - 1,$$

$$(5.10) \quad u_0 = 0, \quad u_n = 1.$$

Παρατηρούμε τώρα ότι αν πολλαπλασιάσουμε την παραπάνω σχέση με h θα μας δώσει ακριβώς την ίδια σχέση (5.7) η οποία είχε προκύψει από την εφαρμογή της μέθοδο Galerkin με πεπερασμένα στοιχεία.

Η σχέση αυτή μεταξύ των δύο μεθόδων μπορεί να επιφέρει μία λύση στο πρόβλημα της "ταλαντούμενης" λύσης η οποία εμφανίζεται κατά την προσεγγιστική επίλυση του προβλήματος (5.7) όταν ο τοπικός αριθμός Peclet είναι μεγαλύτερος από 1. Η σημαντικότερη παρατήρηση στο σημείο αυτό είναι ότι η αστάθεια που παρουσιάζεται στη λύση εφαρμόζοντας τη μέθοδο των πεπερασμένων διαφορών προέρχεται από το γεγονός ότι η διακριτοποίηση του προβλήματος γίνεται στο κεντρικό σημείο παρεμβολής. Ένας πιθανός τρόπος αντιμετώπισης αυτού του προβλήματος είναι να προσεγγίσουμε την πρώτη παράγωγο είτε χρησιμοποιώντας τις εμπρός διαφορές είτε τις πίσω διαφορές ανάλογα με το πρόσημο τις σταθεράς β . Αναλυτικότερα,

$$u' \approx \begin{cases} \frac{u_i - u_{i-1}}{h} & \text{όταν } \beta > 0 \quad (\text{πίσω διαφορές}), \\ \frac{u_{i+1} - u_i}{h} & \text{όταν } \beta < 0 \quad (\text{εμπρός διαφορές}). \end{cases}$$

Στο συγκεκριμένο πρόβλημα μεταφοράς-διάχυσης όπου έχουμε θεωρήσει ότι το β είναι μία θετική σταθερά πολύ μεγαλύτερη της μονάδας χρησιμοποιώντας τις πίσω διαφορές για την προσέγγιση της πρώτης παραγώγου το πρόβλημα (5.9) παίρνει τώρα την ακόλουθη μορφή,

$$(5.11) \quad -\varepsilon \frac{u_{i+1} - 2u_i + u_{i-1}}{h^2} + \beta \frac{u_i - u_{i-1}}{h} = 0, \quad i = 1, \dots, n - 1,$$

όπου για $\varepsilon = 0$ παίρνει την μορφή $u_i = u_{i-1}$ από την οποία προκύπτει και η σταθερή λύση του οριακού προβλήματος $\beta u' = 0$. Αυτός ο τρόπος διακριτοποίησης της πρώτης παραγώγου όπου χρησιμοποιούμε είτε τις εμπρός είτε τις πίσω διαφορές ονομάζεται και *upwind differencing*. Το τίμημα τώρα που πληρώνουμε προκυμένου να ενισχύσουμε την ευστάθεια της λύσης είναι ότι χάνουμε μία τάξη ακρίβειας καθώς όταν χρησιμοποιούμε *upwind differencing* έχουμε ένα τοπικό σφάλμα διακριτοποίησης της τάξεως $\mathcal{O}(h)$ και όχι της τάξεως $\mathcal{O}(h^2)$ όπως συνέβαινε όταν η διακριτοποίηση της πρώτης παραγώγου γινόταν στο κεντρικό σημείο παρεμβολής.

Παρατηρούμε επίσης

$$\frac{u_i - u_{i-1}}{h} = \frac{u_{i+1} - u_{i-1}}{2h} - \frac{h}{2} \frac{u_{i+1} - 2u_i + u_{i-1}}{h^2},$$

δηλαδή η προσέγγιση της πρώτης παραγώγου χρησιμοποιώντας τις πίσω διαφορές μπορεί να γραφεί ως το άθροισμα της προσέγγισης της πρώτης παραγώγου στο κεντρικό σημείο παρεμβολής και ενός όρου που είναι ανάλογος της διακριτοποίησης της δεύτερης τάξεως παραγώγου. Συνεπώς το πρόβλημα (5.11) μπορεί τώρα να πάρει την ισοδύναμη μορφή

$$(5.12) \quad -\varepsilon_h \frac{u_{i+1} - 2u_i + u_{i-1}}{h^2} + \beta \frac{u_{i+1} - u_{i-1}}{2h} = 0 \quad i = 1, \dots, n-1,$$

όπου $\varepsilon_h = (1 + \text{Pe})$. Βέβαια αυτό προϋποθέτει την αντικατάσταση της διαφορικής εξίσωσης (5.1) με την αντίστοιχη διαταραγμένη,

$$(5.13) \quad -\varepsilon_h u'' + \beta u' = 0,$$

όπου στην συνέχεια χρησιμοποιώντας την μέθοδο των πεπερασμένων διαφορών προσεγγίζουμε στο κεντρικό σημείο παρεμβολής τις παραγώγους u' και u'' . Η ακόλουθη διαταραχή

$$(5.14) \quad -\varepsilon \text{Pe} u'' = -\frac{\beta h}{2} u''$$

ονομάζεται τεχνητή διάχυση (*artificial diffusion* ή *numerical viscosity*).

Επίσης μπορούμε να παράγουμε μία γενικότερη μορφή του προβλήματος (5.11) χρησιμοποιώντας την ακόλουθη διάχυση

$$(5.15) \quad \varepsilon_h = \varepsilon(1 + \varphi(\text{Pe})),$$

όπου φ είναι μία κατάλληλη συνάρτηση του τοπικού αριθμού Peclet η οποία ικανοποιεί την σχέση,

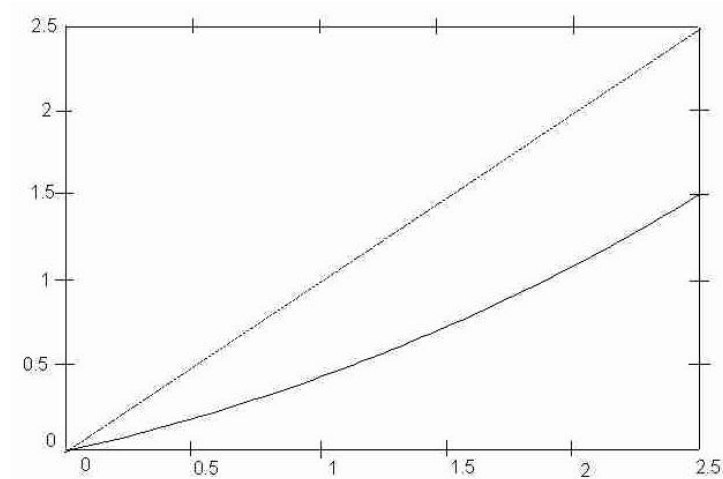
$$\lim_{t \rightarrow 0^+} \varphi(t) = 0.$$

Παρατηρούμε ότι όταν $\varphi(t) = 0$ για όλα τα t , τότε παίρνουμε το πρόβλημα (5.9) του οποίου η διακριτοποίηση έγινε χρησιμοποιώντας την μέθοδο των πεπερασμένων διαφορών στο κεντρικό σημείο παρεμβολής, ενώ όταν $\varphi(t) = t$ προκύπτει το πρόβλημα (5.11) ή ισοδύναμα το (5.12) του οποίου η διακριτοποίηση έγινε προσεγγίζοντας την πρώτη παράγωγο χρησιμοποιώντας τις πίσω διαφορές (*upwind differencing*). Επίσης μπορούμε να θεωρήσουμε και άλλες μορφές της συνάρτησης φ . Για παράδειγμα μπορούμε να θεωρήσουμε την ακόλουθη συνάρτηση,

$$(5.16) \quad \varphi(t) = t - 1 + B(2t),$$

όπου $B(t)$ είναι η αντίστροφη συνάρτηση Bernoulli η οποία ορίζεται ως $B(t) = t/(e^t - 1)$ για $t \neq 0$ και όταν $t = 0$ τότε $B(0) = 1$.

Η μέθοδος αυτή είναι γνωστή και ως *Scharfetter-Gummel method (SG)*.



Σχήμα 5.1 Οι συναρτήσεις φ^{UP} (διακεκομμένη γραμμή) και φ^{SG} (ευθεία γραμμή) .

Παρατήρηση 5.2 Συμβολίζοντας με φ^C , φ^{UP} και φ^{SG} τις τρεις προηγούμενες συναρτήσεις, δηλαδή $\varphi^C = 0$, $\varphi^{UP}(t) = t$ και $\varphi^{SG}(t) = t - 1 + B(2t)$, παρατηρούμε από το διάγραμμα ότι καθώς $\mathbb{P}e \rightarrow +\infty$ $\varphi^{SG} \approx \varphi^{UP}$ ενώ $\varphi^{SG} = \mathcal{O}(h^2)$ και $\varphi^{UP} = \mathcal{O}(h)$ όταν $\mathbb{P}e \rightarrow 0^+$. Έτσι η μέθοδος SG έχει ακρίβεια δεύτερης τάξης και γι' αυτό τον λόγο θεωρείται και ως η βέλτιστη μέθοδος. Έπισης μπορεί να αποδειχθεί ότι αν η συνάρτηση f είναι κατά τμήματα σταθερή σε όλο το πλέγμα της διαμέρισης, τότε η SG μέθοδος δίνει μία αριθμητική λύση u_h^{SG} η οποία είναι ακριβής, δηλαδή $u_h^{SG}(x_i) = u(x_i)$ σε κάθε κόμβο x_i .

Ο καινούριος τώρα τοπικός αριθμός Peclet ο οποίος σχετίζεται με τις σχέσεις (5.12) και (5.15) ορίζεται ως εξής,

$$\mathbb{P}e^* = \frac{|\beta|h}{2\varepsilon_h} = \frac{\mathbb{P}e}{(1 + \varphi(\mathbb{P}e))}.$$

Καί στα δύο προβλήματα έχουμε $\mathbb{P}e^* < 1$ για οποιοδήποτε h . Αυτό μας εξασφαλίζει ότι η αριθμητική λύση u_h ικανοποιεί το Θεώρημα 3.3 (βλ.Κεφ.3. Παρ.3.3. Ανάλυση της σύγκλισης της μεθόδου των πεπερασμένων διαφορών.)

5.3 Σταθεροποίηση της μεθόδου των πεπερασμένων στοιχείων.

Στην ενότητα αυτή θα επεκτείνουμε την χρήση της τεχνητής διάχυσης, την οποία παρουσιάσαμε στην προηγούμενη ενότητα για την μέθοδο των πεπερασμένων διαφορών, στην μέθοδο Galerkin με πεπερασμένα στοιχεία αυθαίρετου βαθμού $k \geq 1$. Για τον σκοπό αυτό θεωρούμε το πρόβλημα μεταφοράς-διάχυσης (5.1) – (5.2) όπου στη συνέχεια αντικαθιστούμε την σταθερά διάχυσης ε με την σχέση (5.15).

Αυτό έχει ως αποτέλεσμα το διαριτοποιημένο πρόβλημα (5.5), το οποίο προέκυψε από το αντίστοιχο συνεχές εφαρμόζοντας την μέθοδο Galerkin με πεπερασμένα στοιχεία, να πάρει τώρα την ακόλουθη μορφή,

$$(5.17) \quad \begin{aligned} \text{να βρεθεί} \quad & \overset{0}{u}_h \in X_h^{k,0} = \{v_h \in X_h^k : v_h(0) = v_h(1) = 0\} \quad \text{έτσι ώστε} \\ & \alpha_h(\overset{0}{u}_h, v_h) = - \int_0^1 \beta v_h dx \quad \forall v_h \in X_h^{k,0}, \end{aligned}$$

όπου

$$\alpha_h(u, v) = \alpha(u, v) + b(u, v),$$

καί ο όρος $b(u, v)$ ο οποίος δίνεται από την ακόλουθη σχέση

$$b(u, v) = \varepsilon \varphi(\mathbb{P}e) \int_0^1 u' v' dx,$$

λέγεται καί όρος σταθεροποίησης (*stabilization term*).

Από την στιγμή που $\alpha_h(u, v) = \varepsilon_h |v|_1^2$ για κάθε $v \in H_0^1(0, 1)$ καί $\varepsilon_h/\varepsilon = (1 + \varphi(\mathbb{P}e)) \geq 1$, το τροποποιημένο πρόβλημα (5.17) ικανοποιεί περισσότερες ιδιότητες μονοτονίας σε σχέση με το αντίστοιχο μη σταθεροποιημένο πρόβλημα Galerkin (5.7).

Για να αποδείξουμε τώρα την σύγκλιση αρκεί να δείξουμε ότι η λύση του προβλήματος (5.17) $\overset{0}{u}_h$ συγκλίνει στο $\overset{0}{u}$ καθώς το $h \rightarrow 0$, όπου $\overset{0}{u}(x) = u(x) - x$. Αυτό γίνεται στο ακόλουθο θεώρημα. Πρίν διατυπώσουμε καί αποδείξουμε το βασικό θεώρημα θα διατυπώσουμε ένα θεώρημα καί έναν ορισμό τα οποία καί θα χρησιμοποιήσουμε στην απόδειξη του βασικού θεωρήματος.

Θεώρημα 5.3.1 Υποθέτουμε ότι $0 \leq m \leq k + 1$ με $k \geq 1$ καί $u^{(m)} \in L^2(\alpha, b)$ όταν $0 \leq m \leq k + 1$. Τότε υπάρχει μία θετική σταθερά C , η οποία εξαρτάται από το h , τέτοια ώστε

$$\|(u - \Pi_h^k u)^m\|_{L^2(\alpha, b)} \leq C h^{k+1-m} \|u^{(k+1)}\|_{L^2(\alpha, b)}.$$

Συγκεκριμένα όταν το $k = 1$, καί το $m = 0$ ή το $m = 1$ τότε παρατηρούμε αντίστοιχα,

$$(5.18) \quad \begin{aligned} \|u - \Pi_h^1\|_{L^2(\alpha, b)} &\leq C_1 h^2 \|u''\|_{L^2(\alpha, b)}, \\ \|(u - \Pi_h^1)'\|_{L^2(\alpha, b)} &\leq C_2 h \|u''\|_{L^2(\alpha, b)}, \end{aligned}$$

για κατάλληλες θετικές σταθερές C_1 καί C_2 .

Ορισμός 5.3.1 *Ανισότητα Young:*

$$(5.19) \quad ab \leq \varepsilon a^2 + \frac{1}{4\varepsilon} b^2, \quad \forall a, b \in \mathbb{R}, \quad \forall \varepsilon > 0.$$

Θεώρημα 5.3.2 Αν $k = 1$ τότε

$$(5.20) \quad |\overset{0}{u} - \overset{0}{u}_h|_{H^1(0,1)} \leq ChG(\overset{0}{u}),$$

όπου $C \geq 0$ είναι μία κατάλληλη σταθερά η οποία εξαρτάται από το h και $\overset{0}{u}$ και

$$G(\overset{0}{u}) = \begin{cases} |\overset{0}{u}|_{H^1(0,1)} + |\overset{0}{u}|_{H^2(0,1)} & \text{για τις πίσω διαφορές,} \\ |\overset{0}{u}|_{H^2(0,1)} & \text{για την μέθοδο SG.} \end{cases}$$

Επιπλέον αν $k = 2$ η μέθοδος SG μας δίνει την ακόλουθη βελτιωμένη εκτίμηση σφάλματος

$$(5.21) \quad |\overset{0}{u} - \overset{0}{u}_h|_{H^1(0,1)} \leq Ch^2(|\overset{0}{u}|_{H^1(0,1)} + |\overset{0}{u}|_{H^3(0,1)}).$$

Απόδειξη.

Από το πρόβλημα (5.1) – (5.2) παρατηρούμε ότι,

$$\alpha(\overset{0}{u}, \upsilon_h) = - \int_0^1 \beta \upsilon_h dx, \quad \forall \upsilon_h \in X_h^{k,0}.$$

Συγρίνοντας τώρα την παραπάνω σχέση με την (5.17) καθώς τα δεύτερα μέλη τους είναι ίσα παίρνουμε την ακόλουθη σχέση,

$$(5.22) \quad \alpha_h(\overset{0}{u} - \overset{0}{u}_h, \upsilon_h) = b(\overset{0}{u}, \upsilon_h), \quad \forall \upsilon_h \in X_h^{k,0}.$$

Αναλυτικότερα η σχέση (5.22) προκύπτει ως εξής,

$$\begin{aligned} \alpha_h(\overset{0}{u}_h, \upsilon_h) = \alpha(\overset{0}{u}, \upsilon_h) &\Rightarrow \alpha(\overset{0}{u}_h, \upsilon_h) + b(\overset{0}{u}_h, \upsilon_h) = \alpha(\overset{0}{u}, \upsilon_h) \\ &\Rightarrow \alpha(\overset{0}{u} - \overset{0}{u}_h, \upsilon_h) = b(\overset{0}{u}_h, \upsilon_h). \end{aligned}$$

Συμβολίζουμε με $E_h = \overset{0}{u} - \overset{0}{u}_h$ το σφάλμα διακριτοποίησης και υπενθυμίζουμε ότι έχουμε εφοδιάσει τον χώρο $H_0^1(0,1)$ με την νόρμα (4.8). Έτσι λοιπόν έχουμε,

$$\begin{aligned} \varepsilon_h |E_h|_{H_0^1(0,1)}^2 &= \alpha_h(E_h, E_h) = \alpha_h(E_h, \overset{0}{u} - \Pi_h^k \overset{0}{u}) + \alpha_h(E_h, \Pi_h^k \overset{0}{u} - \overset{0}{u}_h) \\ &= \alpha_h(E_h, \overset{0}{u} - \Pi_h^k \overset{0}{u}) + b(\overset{0}{u}, \Pi_h^k \overset{0}{u} - \overset{0}{u}_h), \end{aligned}$$

όπου εφαρμόσαμε την σχέση (5.22) με $\upsilon_h = \Pi_h^k \overset{0}{u} - \overset{0}{u}_h$. Στην συνέχεια αναπτύσσουμε το δεύτερο μέλος της παραπάνω σχέσης και εφαρμόζουμε την ανισότητα Cauchy-Schwarz καθώς και την ανισότητα Poincare με αποτέλεσμα να έχουμε,

$$\varepsilon_h |E_h|_{H^1(0,1)}^2 = \int_0^1 (\varepsilon_h E_h'(\overset{0}{u} - \Pi_h^k \overset{0}{u}))' + \beta(E_h'(\overset{0}{u} - \Pi_h^k \overset{0}{u})) dx + \varepsilon \varphi(\mathbb{P}e) \int_0^1 (\overset{0}{u})'(\Pi_h^k \overset{0}{u} - \overset{0}{u}_h)' dx$$

$$\begin{aligned}
&\leq \varepsilon_h |E_h|_{H^1(0,1)} |u^0 - \Pi_h^k u^0|_{H^1(0,1)} + |\beta| C_p |E_h|_{H^1(0,1)} |u^0 - \Pi_h^k u^0|_{H^1(0,1)} + \varepsilon \varphi(\mathbb{P}e) \int_0^1 (u^0)' (\Pi_h^k u^0 - u_h^0)' dx \\
&= (\varepsilon_h + |\beta| C_p) |E_h|_{H^1(0,1)} |u^0 - \Pi_h^k u^0|_{H^1(0,1)} + \varepsilon \varphi(\mathbb{P}e) \int_0^1 (u^0)' (\Pi_h^k u^0 - u_h^0)' dx \\
(5.23) \quad &= M_h |E_h|_{H^1(0,1)} |u^0 - \Pi_h^k u^0|_{H^1(0,1)} + \varepsilon \varphi(\mathbb{P}e) \int_0^1 (u^0)' (\Pi_h^k u^0 - u_h^0)' dx,
\end{aligned}$$

όπου $M_h = \varepsilon_h + |\beta| C_p$ είναι η σταθερά συνέχειας της διγραμμικής μορφής $a(\cdot, \cdot)$ και C_p είναι η σταθερά της ανισότητας Poincare.

Παρατηρούμε ότι στην περίπτωση που το $k = 1$ και $\varphi = \varphi^{SG}$ η δεύτερη ποσότητα μέσα στο ολοκλήρωμα είναι ίση με μηδέν καθώς σύμφωνα με την παρατήρηση (5.2) έχουμε $u_h^0 = \Pi_h^1 u^0$. Έτσι η σχέση (5.23) παίρνει τώρα την ακόλουθη μορφή,

$$|E_h|_{H^1(0,1)} \leq \left(1 + \frac{|\beta| C_p}{\varepsilon_h}\right) |u^0 - \Pi_h^1 u^0|_{H^1(0,1)}.$$

Παρατηρώντας τώρα ότι $\varepsilon_h > \varepsilon$ και χρησιμοποιώντας τις σχέσεις (5.3) και (5.18) έχουμε τελικά το ακόλουθο φράγμα του σφάλματος,

$$|E_h|_{H^1(0,1)} \leq C(1 + 2\mathbb{P}e_{gl} C_p h) |u^0|_{H^2(0,1)}.$$

Στην γενική περίπτωση η ανισότητα σφάλματος (5.21) μπορεί να υπολογιστεί χρησιμοποιώντας την ανισότητα Cauchy-Schwarz καθώς και την τριγωνική ανισότητα. Αναλυτικότερα,

$$\begin{aligned}
\int_0^1 (u^0)' (\Pi_h^k u^0 - u_h^0)' dx &\leq |u^0|_{H^1(0,1)} |\Pi_h^k u^0 - u_h^0|_{H^1(0,1)} \leq |u^0|_{H^1(0,1)} \left(|\Pi_h^k u^0 - u^0|_{H^1(0,1)} + |u^0 - u_h^0|_{H^1(0,1)} \right) \\
&= |u^0|_{H^1(0,1)} \left(|\Pi_h^k u^0 - u^0|_{H^1(0,1)} + |E_h|_{H^1(0,1)} \right).
\end{aligned}$$

Αντικαθιστούμε στην σχέση (5.23) και έχουμε,

$$\varepsilon_h |E_h|_{H^1(0,1)}^2 \leq |E_h|_{H^1(0,1)} \left(M_h |u^0 - \Pi_h^k u^0|_{H^1(0,1)} + \varepsilon \varphi(\mathbb{P}e) |u^0|_{H^1(0,1)} \right) + \varepsilon \varphi(\mathbb{P}e) |u^0|_{H^1(0,1)} |u^0 - \Pi_h^k u^0|_{H^1(0,1)}.$$

Στη συνέχεια εφαρμόζοντας πάλι την σχέση (5.18) προκύπτει η ακόλουθη σχέση,

$$\varepsilon_h |E_h|_{H^1(0,1)}^2 \leq |E_h|_{H^1(0,1)} \left(M_h C h^k |u^0|_{H^{k+1}(0,1)} + \varepsilon \varphi(\mathbb{P}e) |u^0|_{H^1(0,1)} \right) + C \varepsilon \varphi(\mathbb{P}e) |u^0|_{H^1(0,1)} h^k |u^0|_{H^{k+1}(0,1)}.$$

Εφαρμόζοντας τώρα την ανισότητα Young έχουμε,

$$\varepsilon_h |E_h|_{H^1(0,1)}^2 \leq \frac{\varepsilon_h |E_h|_{H^1(0,1)}^2}{2} + \frac{3}{4\varepsilon_h} \left[(M_h C h^k |u^0|_{H^{k+1}(0,1)})^2 + (\varepsilon \varphi(\mathbb{P}e) |u^0|_{H^1(0,1)})^2 \right],$$

από την οποία προκύπτει ότι,

$$\begin{aligned} |E_h|_{H^1(0,1)}^2 &\leq \frac{3}{2} \left(\frac{M_h}{\varepsilon_h} \right)^2 C^2 h^{2k} |u|_{H^{k+1}(0,1)}^0 + \frac{3}{2} \left(\frac{\varepsilon}{\varepsilon_h} \right)^2 + \varphi(\mathbb{P}e)^2 |u|_{H^1(0,1)}^0 + \\ &\quad + \frac{2\varepsilon}{\varepsilon_h} \varphi(\mathbb{P}e) |u|_{H^1(0,1)}^0 C h^k |u|_{H^{k+1}(0,1)}^0. \end{aligned}$$

Χρησιμοποιώντας πάλι το γεγονός ότι $\varepsilon_h > \varepsilon$ και τον ορισμό (5.3) έχουμε ότι $(M_h/\varepsilon_h) \leq (1 + 2C_p \mathbb{P}e_{gl})$ και τότε η παραπάνω σχέση παίρνει την ακόλουθη μορφή,

$$\begin{aligned} |E_h|_{H^1(0,1)}^2 &\leq \frac{3}{2} C^2 (1 + 2C_p \mathbb{P}e_{gl})^2 h^{2k} |u|_{H^{k+1}(0,1)}^0 \\ &\quad + 2\varphi(\mathbb{P}e) C h^k |u|_{H^1(0,1)}^0 |u|_{H^{k+1}(0,1)}^0 + \frac{3}{2} \varphi(\mathbb{P}e)^2 |u|_{H^1(0,1)}^0, \end{aligned}$$

το οποίο μπορεί να γραφεί και ως εξής,

$$(5.24) \quad |E_h|_{H^1(0,1)}^2 \leq \mathcal{M} \left[h^{2k} |u|_{H^{k+1}(0,1)}^0 + \varphi(\mathbb{P}e) h^k |u|_{H^1(0,1)}^0 + \varphi(\mathbb{P}e)^2 |u|_{H^1(0,1)}^0 \right]$$

όπου \mathcal{M} είναι μία κατάλληλη θετική σταθερά.

Αν έχουμε τώρα $\varphi^{UP} = C_\varepsilon h$, όπου $C_\varepsilon = \beta/\varepsilon$, τότε παρατηρούμε ότι

$$|E_h|_{H^1(0,1)}^2 \leq C h^2 \left[h^{2k-2} |u|_{H^{k+1}(0,1)}^0 + h^{k-1} |u|_{H^1(0,1)}^0 |u|_{H^{k+1}(0,1)}^0 + |u|_{H^1(0,1)}^0 \right],$$

η οποία μας δείχνει ότι χρησιμοποιώντας την μέθοδο των πεπερασμένων στοιχείων στην ειδική περίπτωση που το $k = 1$ όπως επίσης και την τεχνητή διάχυση στην περίπτωση των πίσω διαφορών προκύπτει η γραμμική εκτίμηση σύγκλισης (5.20).

Στην περίπτωση τώρα που έχουμε $\varphi = \varphi^{SG}$ και υποθέτοντας ότι το h είναι αρκετά μικρό έτσι ώστε $\varphi^{SG} \leq K h^2$, για μία κατάλληλη θετική σταθερά K , τότε παρατηρούμε ότι,

$$|E_h|_{H^1(0,1)}^2 \leq C h^4 \left[h^{2(k-2)} |u|_{H^{k+1}(0,1)}^0 + h^{k-2} |u|_{H^1(0,1)}^0 |u|_{H^{k+1}(0,1)}^0 + |u|_{H^1(0,1)}^0 \right],$$

η οποία μας δείχνει ότι στην περίπτωση που το $k = 2$ σε συνδιασμό με το ότι χρησιμοποιήσαμε την τεχνητή διάχυση προκύπτει η δεύτερης τάξεως εκτίμηση της σύγκλισης (5.21). \square

5.4 Περιγραφή του προβλήματος στις δύο διαστάσεις.

Μέχρι στιγμής έχουμε παρουσιάσει τις βασικές ιδέες αριθμητικής επίλυσης προβλημάτων ελλειπτικού τύπου τα οποία ορίζονται πάνω σε μονοδιάστατες περιοχές χρησιμοποιώντας τις μεθόδους των Πεπερασμένων Διαφορών και την μέθοδο Galerkin με Πεπερασμένα Στοιχεία. Τι γίνεται όμως όταν το πρόβλημα μας ορίζεται στις δύο διαστάσεις;

Το αρχικό πρόβλημα (2.1) – (2.2) το οποίο παρουσιάσαμε στο Κεφάλαιο 2 μετατρέπεται τώρα στο γνωστό πρόβλημα *Poisson* με ομογενείς συνοριακές συνθήκες *Dirichlet*,

$$(5.25) \quad -\Delta u = f \quad \text{στον χώρο } \Omega \text{ με}$$

$$(5.26) \quad u = 0 \quad \text{πάνω στο} \quad \partial\Omega,$$

όπου $\Delta u = \partial^2 u / \partial x^2 + \partial^2 u / \partial y^2$ είναι ο τελεστής Laplace και Ω είναι η δισδιάστατη φραγμένη περιοχή όπου το σύνορο της είναι το $\partial\Omega$. Αν υποθέσουμε ότι ο χώρος Ω είναι το μοναδιαίο τεράγωνο $\Omega = (0, 1)^2$, η προσέγγιση του προβλήματος (5.25) – (5.26) χρησιμοποιώντας την μέθοδο των πεπερασμένων διαφορών σε αντιστοιχία με την προσέγγιση του μονοδιάστατου προβλήματος (3.6) είναι,

$$(5.27) \quad L_h u_h(x_{i,j}) = f(x_{i,j}) \quad \text{όπου} \quad i, j = 1, \dots, N - 1,$$

$$(5.28) \quad u_h(x_{i,j}) = 0 \quad \text{αν} \quad i = 0 \quad \text{ή} \quad N, \quad \text{και} \quad j = 0 \quad \text{ή} \quad N,$$

όπου $x_{i,j} = (ih, jh)$ ($h = 1/N$) είναι τα διακριτά σημεία και u_h η αντίστοιχη διακριτή συνάρτηση.

Τέλος με τον τελεστή L_h συμβολίζουμε την προσέγγιση του τελεστή Laplace στον οποίο αν αντικαταστήσουμε τις παραγώγους δεύτερης τάξης με τις αντίστοιχες διακριτοποιημένες, οι οποίες προκύπτουν χρησιμοποιώντας την μέθοδο των πεπερασμένων διαφορών στο κεντρικό σημείο παρεμβολής παίρνει την ακόλουθη μορφή,

$$(5.29) \quad L_h u_h(x_{i,j}) = \frac{1}{h^2} (4u_{i,j} - u_{i+1,j} - u_{i-1,j} - u_{i,j+1} - u_{i,j-1}),$$

όπου $u_{i,j} = u_h(x_{i,j})$. Ο πίνακας A_{fd} ο οποίος σχετίζεται με το παραπάνω πρόβλημα έχει $(N-1)^2$ γραμμές, είναι πενταδιαγώνιος με την i -οστή γραμμή του να δίνεται από την ακόλουθη σχέση,

$$(5.30) \quad (a_{fd})_{i,j} = \frac{1}{h^2} \begin{cases} 4 & \text{αν} \quad j = 1, \\ -1 & \text{αν} \quad j = i - N - 1, i - 1, i + 1, i + N + 1, \\ 0 & \text{διαφορετικά.} \end{cases}$$

Επίσης ο πίνακας A_{fd} είναι συμμετρικός και θετικά ορισμένος. Όσο αναφορά τώρα το σφάλμα της συνεπείας όσο και της διακριτοποίησης $\|u - u_h\|_{h,\infty}$ που σχετίζονται με το πρόβλημα (5.29) είναι δεύτερης τάξης όπως ακριβώς και στην περίπτωση που το πρόβλημα μας ήταν μονοδιάστατο.

Η επέκταση τώρα της μεθόδου Galerkin στις δυο διαστάσεις προκύπτει άμεσα από το μονοδιάστατο πρόβλημα (4.5) αφού πρώτα φυσικά προσαρμόσουμε κατάλληλα τον χώρο των

συναρτήσεων δοκιμής V_h και τη διγραμμική μορφή $\alpha(\cdot, \cdot)$. Έτσι χρησιμοποιώντας την μέθοδο των πεπερασμένων στοιχείων ορίζουμε στο δισδιάστατο πρόβλημα τον χώρο των συναρτήσεων δοκιμής V_h ως εξής,

$$(5.31) \quad V_h = \{u_h \in C^0(\bar{\Omega}) : u_h|_T \in \mathbb{P}_k(T) \quad \forall T \in \mathcal{T}_h, \quad u_h|_{\partial\Omega} = 0\},$$

Παρατηρούμε ότι ο παραπάνω ορισμός του χώρου των συναρτήσεων δοκιμής δεν είναι τίποτα άλλο από την επέκταση του ορισμού (4.17) ο οποίος ισχύει στα προβλήματα μίας διάστασης. Όσο αναφορά τώρα την διγραμμική μορφή $\alpha(\cdot, \cdot)$ αυτή προκύπτει εφαρμόζοντας τους ίδιους μαθηματικούς υπολογισμούς που χρησιμοποιήσαμε και στο Κεφάλαιο 4 για την αντίστοιχη εύρεση της διγραμμικής μορφής στην περίπτωση του μονοδιάστατου προβλήματος. Έτσι έχουμε,

$$\alpha(u_h, v_h) = \int_{\Omega} \nabla u_h \cdot \nabla v_h dx dy,$$

όπου χρησιμοποιήσαμε τον ακόλουθο τύπο του Green ο οποίος αποτελεί και μία γενίκευση της ολοκλήρωσης κατά μέρη

$$(5.32) \quad \int_{\Omega} -\Delta u v dx dy = \int_{\Omega} \nabla u \cdot \nabla v dx dy - \int_{\partial\Omega} \nabla u \cdot \mathbf{n} v d\gamma,$$

με u, v να είναι επαρκώς ομαλές συναρτήσεις και όπου \mathbf{n} να είναι το κανονικό μοναδιαίο διάνυσμα πάνω στο σύνορο $\partial\Omega$.

Η εκτίμηση τώρα του σφάλματος, το οποίο προκύπτει λόγω της προσέγγισης του προβλήματος (5.25) – (5.26) με τη μέθοδο των πεπερασμένων στοιχείων, προκύπτει όπως και στην μονοδιάστατη περίπτωση μέσω του συνδιασμού του λήμματος Cea's και της εκτίμησης του σφάλματος παρεμβολής. Έτσι στην περίπτωση των δύο διαστάσεων ισχύει το ακόλουθο λήμμα.

Λήμμα 5.4.1 Έστω ότι $u \in H_0^1(\Omega)$ είναι η ακριβής ασθενής λύση του προβλήματος (5.25)-(5.26) και $u_h \in V_h$ η αντίστοιχη προσεγγιστική η οποία προκύπτει χρησιμοποιώντας κατά τμήματα συνεχή πολυώνυμο βαθμού $k \geq 1$. Υποθέτουμε επίσης ότι $u \in H^s(\Omega)$ για $s \geq 2$. Τότε ισχύει η ακόλουθη εκτίμηση σφάλματος

$$(5.33) \quad \|u - u_h\|_{H_0^1(\Omega)} \leq \frac{M}{\alpha_0} C h^l \|u\|_{H^{l+1}(\Omega)},$$

όπου $l = \min(k, s - 1)$. Κάτω υπό τις ίδιες υποθέσεις μπορεί επίσης να αποδειχθεί ότι,

$$(5.34) \quad \|u - u_h\|_{L^2(\Omega)} \leq C h^{l+1} \|u\|_{H^{l+1}(\Omega)}.$$

Σημειώνουμε ότι για οποιοδήποτε ακέραιο $s \geq 0$ ο χώρος Sobolev $H^s(\Omega)$ τον οποίο χρησιμοποιήσαμε παραπάνω ορίζεται ως ο χώρος των συναρτήσεων με τις πρώτες s μερικές παραγώγους να ανήκουν στον $L^2(\Omega)$. Επιπλέον ο $H_0^1(\Omega)$ είναι ο χώρος των συναρτήσεων που ανήκουν στον $H^1(\Omega)$ και παράλληλα $u = 0$ πάνω στο σύνορο $\partial\Omega$. Έτσι μία συνάρτηση u η οποία ανήκει στον χώρο $H_0^1(\Omega)$ δεν σημαίνει απαραίτητα ότι είναι συνεχής παντού.

Συνεχίζοντας να ακολουθούμε τις ίδιες διαδικασίες με το Κεφάλαιο 4, μπορούμε να γράψουμε την λύση που προκύπτει εφαρμόζοντας την μέθοδο των πεπερασμένων στοιχείων ως εξής,

$$u_h(x, y) = \sum_{j=1}^N u_j \varphi_j(x, y),$$

όπου $\{\varphi_j\}_{j=1}^N$ είναι οι συναρτήσεις βάσης του χώρου V_h . Στην περίπτωση που το $k = 1$ έχουμε τις περίφημες *συναρτήσεις στέγες* (βλ.Κεφ.4). Η μέθοδος λοιπόν Galerkin με πεπερασμένα στοιχεία οδηγεί στην λύση του γραμμικού συστήματος $A_{fe} \mathbf{u} = \mathbf{f}$, όπου $(a_{fe})_{i,j} = a(\varphi_j, \varphi_i)$.

Ακριβώς όπως συμβαίνει και στην περίπτωση της μίας διάστασης, ο πίνακας A_{fe} είναι συμμετρικός, θετικά ορισμένος και γενικά αραιός. Τέλος ο δείκτης κατάστασης συνεχίζει να είναι της ίδιας τάξης $\mathcal{O}(h^{-2})$ και το παραπάνω σύστημα καλείται "*κακής κατάστασης*".

Κεφάλαιο 6

Αριθμητικά παραδείγματα και άναλυση των αποτελεσμάτων.

Πρόβλημα 1. Επίλυση του προβλήματος Laplace.

Ορίζουμε αρχικά τον χώρο C πάνω στον οποίο θα επιλύσουμε το πρόβλημα μας,

$$C = \{f(x, y) : x = \cos t, y = \sin t, 0 \leq t \leq 2\pi\}.$$

Υποθέτουμε τώρα ότι έχουμε τον ακόλουθο πρόβλημα Laplace,

$$(6.1) \quad -\Delta u = f \quad \text{στο } \Omega,$$

όπου $f = -1$ και $\Omega = \{(x, y) : x^2 + y^2 < 1\}$, με $\partial\Omega = C$, και με συνοριακή συνθήκη,

$$u = 0 \quad \text{στο } \partial\Omega.$$

Η ακριβής λύση του παραπάνω προβλήματος είναι $u_e = \frac{1-x^2-y^2}{4}$

Με χρήση της γλώσσας προγραμματισμού Freefem (βλ.[14]) επιλύσαμε αριθμητικά το παραπάνω πρόβλημα και υπολογίσαμε τα σφάλματα L_2 και H_1 , μειώνοντας συνεχώς το βήμα της μεθόδου των Πεπερασμένων Στοιχείων, έτσι ώστε κάποια στιγμή $toh \rightarrow 0$. Παρακάτω δίνεται ο αντίστοιχος κώδικας.

```

real pi=4*atan(1);

border a(t=0,2*pi){ x = cos(t); y = sin(t);label=1;};

mesh disk = buildmesh(a(160));

plot(disk);

fespace femp1(disk,P1);

femp1 u,v;

problem laplace(u,v) =

  int2d(disk)( dx(u)*dx(v) + dy(u)*dy(v) ) // bilinear form
+ int2d(disk)( -1*v ) // linear form
+ on(1,u=0); // boundary condition

laplace;

femp1 err=u-(1-x^2-y^2)/4;

plot (u,value=true,wait=true);

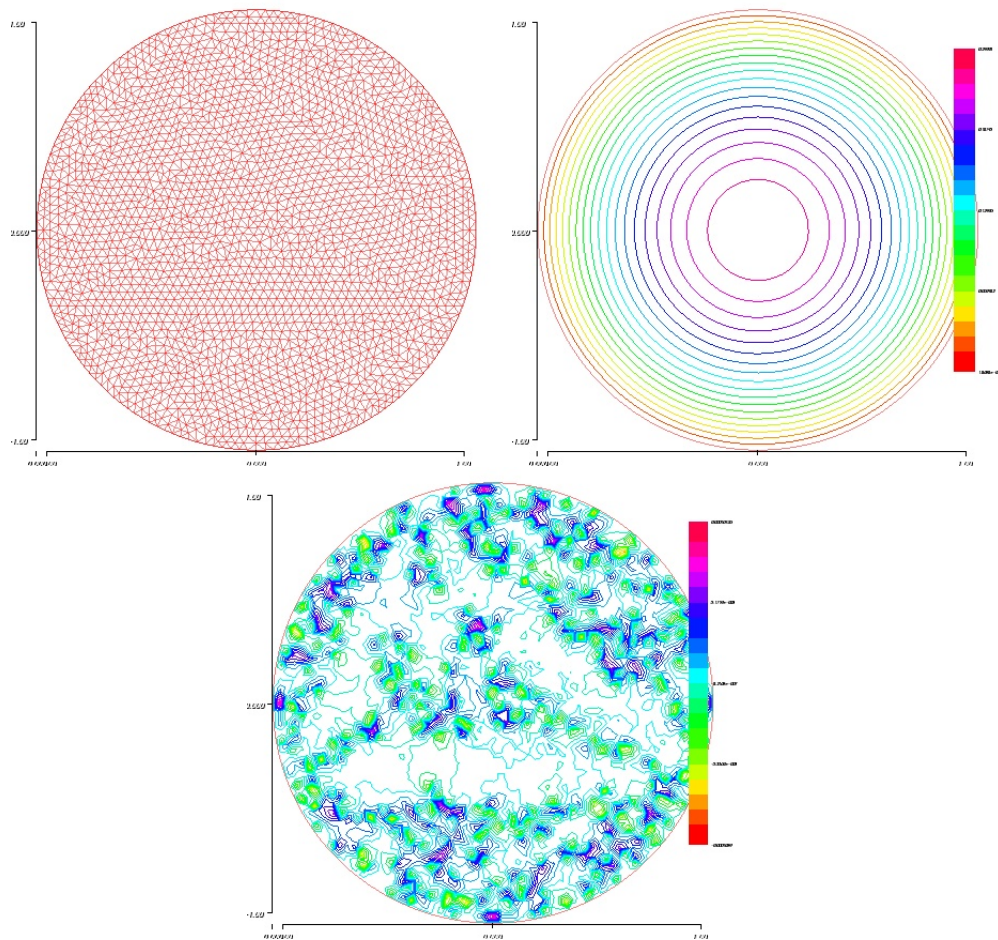
plot(err,value=true,wait=true);

cout << "error L2=" << sqrt(int2d(disk)( (u-(1-x^2-y^2)/4) ^2 )<< endl;

cout << "error H10=" << sqrt( int2d(disk)((dx(u)+x/2)^2)
+ int2d(disk)((dy(u)+y/2)^2)<< endl;

```

Πρόγραμμα 1. Αριθμητική επίλυση του προβλήματος *Laplace* και υπολογισμός των αντίστοιχων σφαλμάτων.



Διαγράμματα_ 1. Διαγράμματα που προκύπτουν από το Πρόγραμμα 1.

n	L ² -error	H ¹ -error
10	0.0483756	0.176984
20	0.0130963	0.0948276
40	0.00325794	0.0463907
80	0.000818174	0.0234118
160	0.000201246	0.0115037
320	5.08133e- 005	0.00581992
640	1.27084e- 005	0.00291345
1280	3.16416e- 006	0.00145069

Πίνακας 1. Αποτελέσματα του Προγράματος 1.

Πρόβλημα 2. Επίλυση του προβλήματος Μεταφοράς-Διάχυσης.
Υποθέτουμε ότι έχουμε το ακόλουθο πρόβλημα μεταφοράς-διάχυσης,

$$(6.2) \quad -\varepsilon \Delta u + v \nabla u = f, \quad \text{στο } \Omega$$

52ΚΕΦΑΛΑΙΟ 6. ΑΡΙΘΜΗΤΙΚΑ ΠΑΡΑΔΕΙΓΜΑΤΑ ΚΑΙ ΑΝΑΛΥΣΗ ΤΩΝ ΑΠΟΤΕΛΕΣΜΑΤΩΝ.

το οποίο ακριβώς όπως και στο πρόβλημα 1 το επιλύουμε πάνω στον δίσκο C , με συνοριακή συνθήκη $u = 0$ στο $\partial\Omega$ όπου $\partial\Omega = C$ και την ίδια ακριβή λύση.

Αν θεωρήσουμε τώρα ότι ο συντελεστής διάχυσης είναι ίσος με $\varepsilon = 0.01$ και $v = [1, -1]$, όπου με v συμβολίζουμε το πεδίο ταχυτήτων, τότε έχουμε :

```
real e=0.01;

real pi=4*atan(1);

border a(t=0,2*pi){ x = cos(t); y = sin(t);label=1;};

mesh disk = buildmesh(a(160));

plot(disk);

fespace femp1(disk,P1);

femp1 u,v;

func f=e-(x/2)+(y/2);

problem laplace(u,v) =

  int2d(disk)( e*dx(u)*dx(v) +e*dy(u)*dy(v)+dx(u)*v-dy(u)*v) // bilinear form

- int2d(disk)( f*v ) // linear form

+ on(1,u=0) ; // boundary condition

laplace;

femp1 err=u-(1-x^2-y^2)/4;

plot (u,value=true,wait=true);

plot(err,value=true,wait=true);

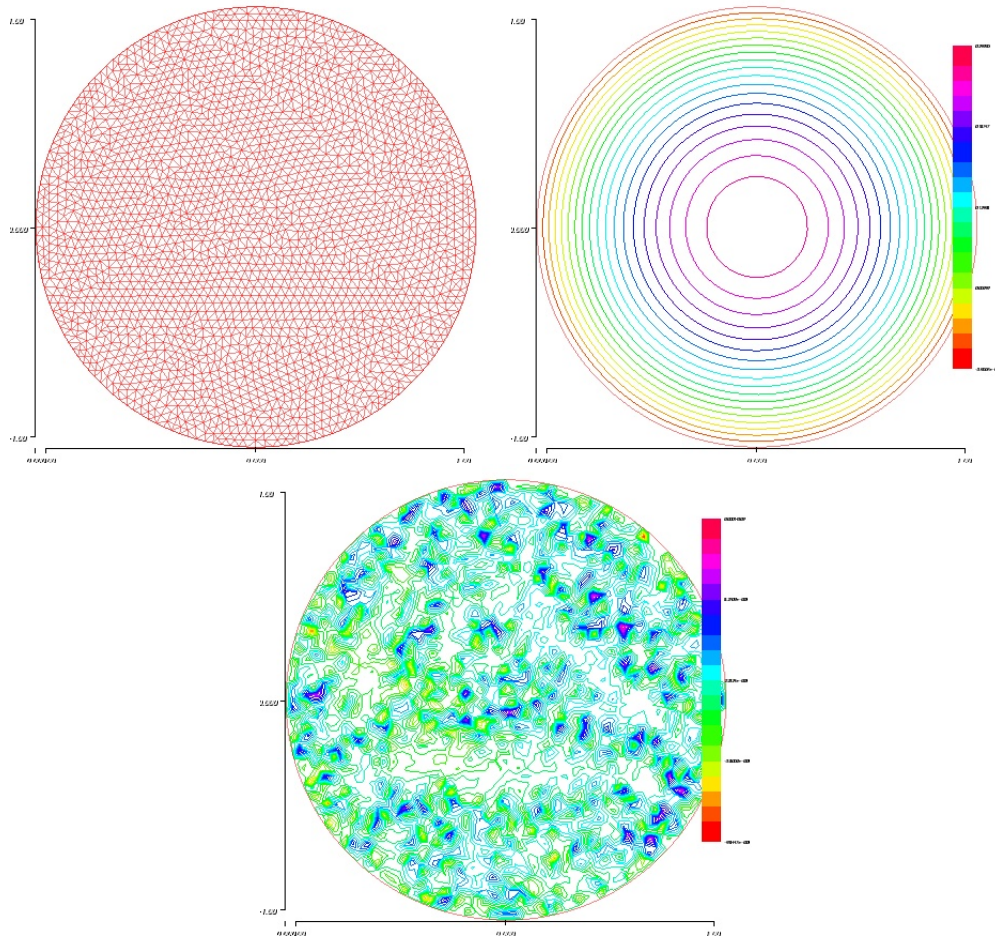
cout << "error L2=" << sqrt(int2d(disk)((u-(1-x^2-y^2)/4)^2))<< endl;

cout << "error H10=" << sqrt( int2d(disk)((dx(u)+x/2)^2)

+ int2d(disk)((dy(u)+y/2)^2))<< endl;
```

Πρόγραμμα 2. Αριθμητική επίλυση του προβλήματος μεταφοράς-διάχυσης και υπολογισμός

των αντίστοιχων σφαλμάτων.



Διαγράμματα_ 2. Διαγράμματα που προκύπτουν από το Πρόγραμμα 2.

n	L^2 -error	H^1 -error
10	0.0508908	0.208642
20	0.0153761	0.107401
40	0.00393641	0.0517348
80	0.000898231	0.0245366
160	0.000187602	0.0117098
320	5.31537e- 005	0.00585641
640	1.26742e- 005	0.00291918
1280	3.25198e- 006	0.00145153

Πίνακας 2. Αποτελέσματα του Προγράματος 2.

Παρατήρηση 6.1 Από τα αποτελέσματα των δύο προγραμμάτων βλέπουμε ότι καθώς το $h \rightarrow 0$ τα σφάλματα H^1 και L^2 τείνουν και αυτά με τη σειρά τους στο μηδέν. Τα παραπάνω αποτελέσματα έρχονται σε απόλυτη συμφωνία με τις αντίστοιχες εκτιμήσεις σφαλμάτων (5.33) και (5.34).

Παρατήρηση 6.2 Στο πρόγραμμα 2. αν θεωρήσουμε ότι ο συντελεστής διάχυσης ε είναι ακόμη πιο μικρός για παράδειγμα $\varepsilon = 10^{-7}$, τότε για $n = 10$ έχουμε $L^2 = 1097,31$ και $H^1 = 5823,83$ και για $n = 160$ έχουμε αντίστοιχα $L^2 = 0,09119922$ και $H^1 = 0,78434$. Παρατηρούμε ότι σε σχέση με τα αποτελέσματα του προγράμματος 2. ότι αν μειώσουμε τον συντελεστή διάχυσης τα σφάλματα αυξάνονται και φτάνουμε σε ένα σημείο όπου για πολύ μεγάλο n το πρόγραμμα μας σταματάει να τρέχει.

Βιβλιογραφία

- [1] Alfio Quarteran, Riccardo Sacco, Fausto Saliati., Numerical Mathematics, Springer, 2007
- [2] Brezis H., Συναρτησιακή Ανάλυση Θεωρία και Εφαρμογές, Πανεπιστημιακές Εκδόσεις Ε.Μ.Π., 1997
- [3] W.E.Boyse-R.C.Diprima, Στοιχειώδεις Διαφορικές Εξισώσεις κ Προβλήματα Συνοριακών Τιμών., Πανεπιστημιακές Εκδόσεις Ε.Μ.Π., 1999
- [4] Γ.Δάσιος-Κ.Κυριάκη, Μερικές Διαφορικές Εξισώσεις, Αθήνα 1994
- [5] Γ.Ν.Παντελίδη-Δ.Χ.Κραββαρίτη-Ν.Σ.Χατζησάββα, Συνήθεις Διαφορικές Εξισώσεις., Εκδόσεις Ζήττη., Αθήνα 1990
- [6] Ν.Σταυρακάκης, Συνήθεις Διαφορικές Εξισώσεις., Εκδόσεις Παπασωτηρίου., 1997
- [7] Γ.Παπαγεωργίου., Αριθμητική Ανάλυση των διαφορικών εξισώσεων., Εκδόσεις Συμμεών., Αθήνα 2005
- [8] Γ.Σ.Παπαγεωργίου-Χ.Γ.Τσίτουρος., Αριθμητική Ανάλυση με Εφαρμογές σε Matlab και Mathematica., Εκδόσεις Συμμεών., Αθήνα 2006
- [9] Α.Μπακόπουλος-Ι.Χρυσοβέργης., Εισαγωγή στην Αριθμητική Ανάλυση., Εκδόσεις Συμμεών., Αθήνα 1994
- [10] Μ.Μισυρλής., Αριθμητική Ανάλυση., Αθήνα 2009
- [11] Logan J.D., Εφαρμοσμένα Μαθηματικά, Πανεπιστημιακές Εκδόσεις Κρήτης, 1999
- [12] Maz'ya V., Sobolev Spaces in Mathematics II, Applications in Analysis and Partial Differential Equations, 2009
- [13] Showalter R.E., Hilbert space methods for Partial Differential Equations, 1994
- [14] Hecht, A partial guide to Freefemlab

Ευρετήριο

- Legendre-Gauss-Lobatto, 33
- Scharfetter-Gummel method (SG), 41
stiffnes matrix, 21, 31, 32, 48
- upwind differencing, 39
- Ανάλυση της ευστάθειας της μεθόδου, 9, 21
Ανάλυση της συνέπειας της μεθόδου, 14
Ανάλυση της σύγκλισης της Μεθόδου, 16
Ανάλυση της σύγκλισης της μεθόδου, 22
- Εξιιώσεις μεταφοράς-διάχυσης, 34
- Λήμμα Ce'as, 25
Λήμμα Lax Milgram, 24
- Μέθοδος Galerkin, 18
Μέθοδος των πεπερασμένων διαφορών, 6
Μέθοδος των πεπερασμένων στοιχείων, 21, 25
- Περιγραφή του προβλήματος στις δύο διαστάσεις, 45
Πρόβλημα Poisson, 46
Πρόγραμμα 1., 51
Πρόγραμμα 2., 53
- Σταθεροποίηση της μεθόδου των πεπερασμένων στοιχείων, 41
Συναρτήσεις βάσης του χώρου X_h^2 , 29
Σχήμα 4.1-Συναρτήσεις στέγες, 28
Σχήμα 4.3-Συναρτήσεις βάσης του χώρου X_h^2 , 30
Σύγκριση των μεθόδων των Π.Σ και των Π.Δ., 38
- Φασματικές μέθοδοι, 33
- ακρίβεια της μεθόδου, 26
ανάπτυγμα Taylor, 15
ανισότητα Cauchy-Schwarz, 11, 14, 22, 23, 44
ανισότητα Minkowski, 13
ανισότητα Poincare, 14, 22, 23, 44
ανισότητα Young, 42
αριθμός Peclet, 35
αρχή του μεγίστου, 6
ασθενής μορφή, 20, 21, 35
- γενική μορφή του προβλήματος συνοριακών τιμών, 19
- διακριτή άπειρο νόρμα, 15
διακριτό εσωτερικό γινόμενο, 9
διγραμμική μορφή, 20, 47
- εκτίμηση σφάλματος, 26, 36, 47
ελλειπτικού τύπου, 3
- θετικά ορισμένος, 8, 11, 24, 46
ιδιότητα της μονοτονίας, 6
μοναδική λύση, 6, 8, 14, 22, 25
- ο χώρος X_h^1 , 27
ο χώρος X_h^2 , 29
ο χώρος Sobolev $H^s(\Omega)$, 48
ολικό σφάλμα διακριτοποίησης, 16
- πίνακας των πεπερασμένων διαφορών, 8, 46
παρεμβολή Lagrange, 26
πιστικό, 24
πολύωνυμο παρεμβολής Newton, 7, 9
πρόβλημα Laplace, 49
πρόβλημα συνοριακών τιμών, 5

- συμμετρικός, 8, 11, 46
- συνάρτηση Green, 6, 17
- συνάρτηση δοκιμής, 19
- συναρτήσεις στέγες, 28, 48
- συνεχές, 24
- σφάλμα διακριτοποίησης, 15

- τάξη σύγκλισης, 26
- τεχνητή διάχυση, 40
- τοπικό σφάλμα αποκοπής, 15

- χώρος $L^2(a, b)$, 14, 20
- χώρος Hilbert, 23, 24
- χώρος Sobolev $H_0^1(0, 1)$, 20
- χώρος Sobolev $H_0^1(0, 1)$, 25